



LAND
TIROL

Nasse Deposition in Tirol im Jahr 2023

Datenanhang

Impressum

Amt der Tiroler Landesregierung

Abteilung Waldschutz

Bürgerstraße 36

6020 Innsbruck

Email: waldschutz@tirol.gv.at

www.tirol.gv.at/umwelt/luftqualitaet

Inhalt Datenanhang

I.	Verzeichnis der WADOS - Stationen in Österreich.....	1
II.	Chemische Analysen	3
III.	Ergebnisse der Jahresmittel, Halbjahresmittel und Quartalsmittel.....	6
IV.	Statistische Verteilung der Tagesmesswerte	9
VI.	Verzeichnis der Tagesproben	18

I. Verzeichnis der WADOS - Stationen in Österreich

Tabelle A 18: WADOS - Stationen im österreichischen Niederschlagsmessnetz; im Untersuchungszeitraum (2023) betriebene Messstellen (* Bezirk Reutte, ** Bezirk Kufstein, *** Bezirk Linz)

Bundes-land	Messstandort	Geogr. Länge	Geogr. Breite	Seehöhe	Messbeginn	Analyse der Proben
Code		E	N	[m]	[MM/JJ]	
Tirol						
11	Höfen *	10°40'51"	47°28'15"	873	11/83-	Labor der Tiroler Landesregierung
13	Niederndorferberg **	12°13'37"	47°39'44"	698	11/83-	Labor der Tiroler Landesregierung
14	Innervillgraten ***	12°21'06"	46°49'05"	1727	8/84-	Labor der Tiroler Landesregierung
Salzburg						
21	Haunsberg	13°01'00"	47°57'23"	520	10/83-	Labor der Salzburger Landesregierung
27	Sonnblick	12°57'32"	47°03'15"	3106	10/87-	Institut für chemische Technologien und Analytik, TU-Wien
Niederösterreich						
33	Litschau	15°02'20"	48°57'20"	560	10/89-	Institut für chemische Technologien und Analytik, TU-Wien
36	Lunz	15°04'07"	47°51'18"	618	4/90-	Institut für chemische Technologien und Analytik, TU-Wien
37	Hofamt Priel	15°05'02"	48°13'15"	575	4/91-	Institut für chemische Technologien und Analytik, TU-Wien
39c	Hollabrunn	16°04'43"	48°33'45"	236	06/22-	Institut für chemische Technologien und Analytik, TU-Wien
Oberösterreich						
54	Kremsmünster	14°07'51"	48°03'18"	383	1/86-	Labor der Landesregierung Oberösterreich
55	Grünau/ Almsee	13°57'18"	47°46'03"	587	1/87-	Labor der Landesregierung Oberösterreich
56	Linz/ Römerberg	14°16'56"	48°18'11"	263	5/90-	Labor der Landesregierung Oberösterreich
57	Aspach	13°19'33"	48°11'52"	430	2/94-	Labor der Landesregierung Oberösterreich
Steiermark						
71	Masenberg	15°52'56"	47°20'53"	1137	3/90-	Institut für chemische Technologien und Analytik, TU-Wien
78	Klöch	15°05'02"	47°03'52"	290	03/22-	Institut für chemische Technologien und Analytik, TU-Wien
73	Grundlsee	13°47'48"	47°37'50"	954	3/90-	Institut für chemische Technologien und Analytik, TU-Wien
76	Arnfels	15°22'04"	46°39'07"	763	5/97-	Institut für chemische Technologien und Analytik, TU-Wien

Tabelle A 19: WADOS - Stationen im österreichischen Niederschlagsmessnetz; nicht mehr in Betrieb befindliche Stationen (Daten nur aus früheren Jahren verfügbar)

Bundesland	Messstandort	Geogr. Länge	Geogr. Breite	Seehöhe	Messzeitraum	Analyse der Proben
Code		E	N	[m]	[MM/JJ]	
Tirol						
12	Achenkirch	11°38'25"	47°34'55"	840	11/83-10/96	Umweltbundesamt
15	IBK-Seegrube	11°22'48"	47°18'24"	1960	10/86-3/88	Institut für Analytische Chemie, TU-Wien
16	IBK-Reichenau	11°25'05"	47°16'36"	570	10/86-3/88	Institut für Analytische Chemie, TU-Wien
17	Nößlach	11°28'20"	47°03'22"	1420	10/84-9/85	Institut für Analytische Chemie, TU-Wien
18	Innerschmirn	11°36'18"	47°06'34"	1570	10/85-3/88	Institut für Analytische Chemie, TU-Wien
Salzburg						
22	Salzburg Flughafen	12°55'53"	47°47'36"	433	10/83-9/86	Institut für Analytische Chemie, TU-Wien
23	Gaisberg	13°06'53"	47°47'45"	1010	10/89-11/90	Institut für Analytische Chemie, TU-Wien
24	St.Koloman	13°14'00"	47°39'03"	1020	10/83-12/03	Umweltbundesamt
25	Werfenweng	13°15'12"	47°25'18"	940	10/83-09/19	Labor der Salzburger Landesregierung
26	Kolm Saigurn	12°59'04"	47°04'05"	1600	10/89-4/95	Institut für Analytische Chemie, TU-Wien
Niederösterreich						
31	Hirschwang	15°48'28"	47°42'33"	500	4/86-3/88	Institut für Analytische Chemie, TU-Wien
32	Naßwald	15°42'26"	47°46'04"	600	5/88-9/07	Wiener Umweltschutzabteilung - Umweltanalytik
34	Wolkersdorf	16°31'22"	48°23'02"	180	10/89-9/97	Institut für Analytische Chemie, TU-Wien
35	Josefsberg	15°18'56"	47°50'42"	1010	11/89-8/96	Institut für Analytische Chemie, TU-Wien
38	Kl.-Leopoldsdorf	15°59'56"	48°05'20"	400	7/91-9/97	Institut für Analytische Chemie, TU-Wien
39	Mitterhof	16°26'59"	48°46'14"	179	4/98-04/03	Institut für chemische Technologien und Analytik, TU-Wien
39a	Drasenhofen	16°39'28"	48°44'56"	216	10/03-11/17	Institut für chemische Technologien und Analytik, TU-Wien
39b	Großkadolz	16°11'03"	48°42'44"	190	03/20-12/22	Institut für chemische Technologien und Analytik, TU-Wien
Wien						
41	Lainz	16°14'07"	48°12'02"	230	4/86-9/07	Wiener Umweltschutzabteilung - Umweltanalytik
42	Laaer Berg	16°23'39"	48°09'41"	250	4/86-3/90	Institut für Analytische Chemie, TU-Wien
43	Lobau	16°30'51"	48°11'15"	155	4/86-9/07	Wiener Umweltschutzabteilung - Umweltanalytik
44	Bisamberg	16°22'59"	48°18'49"	310	4/90-9/07	Wiener Umweltschutzabteilung - Umweltanalytik
Oberösterreich						
51	Wurzeralm	14°16'30"	47°38'48"	1400	1/84-7/89	Labor der Landesregierung Oberösterreich
52	Schöneben	13°57'02"	48°42'43"	920	1/84-	Labor der Landesregierung Oberösterreich
53	Steyregg	14°21'16"	48°17'23"	335	1/84-	Labor der Landesregierung Oberösterreich
58	Zöbelboden	14°26'29"	47°50'19"	899	1/04-12/09	Umweltbundesamt
Kärnten						
61	Naßfeld	13°16'33"	46°33'37"	1530	11/89-9/98	Institut für Analytische Chemie, TU-Wien
62	Vorhegg	12°56'59"	46°42'00"	1020	06/95-09/10	Umweltbundesamt
63	Herzogberg	14°53'30"	46°42'30"	540	06/99-09/10	Institut für chemische Technologien und Analytik, TU-Wien
Steiermark						
74	Weiz	15°37'49"	47°13'03"	456	4/90-9/92	LR STMK, Fachabteilung 17c
75	Stolzalpe	14°12'10"	47°07'50"	1302	12/91-	LR STMK, Fachabteilung 17c
77	Niklasdorf	15°08'49"	47°23'46"	510	10/02-	LR STMK, Fachabteilung 17c
72	Hochgößnitz	15°01'00"	47°03'33"	900	03/90-12/22	Institut für chemische Technologien und Analytik, TU-Wien
Vorarlberg						
81	Thüringerberg	09°47'05"	47°13'05"	960	4/90-3/92	Institut für Analytische Chemie, TU-Wien
82	Gaschurn	10°01'30"	46°59'30"	990	4/92-3/94	Institut für Analytische Chemie, TU-Wien
83	Hard	09°41'17"	47°30'08"	400	5/94-3/98	Institut für Analytische Chemie, TU-Wien
84	Bizau	09°56'22"	47°21'58"	700	4/98-3/01	Institut für chemische Technologien und Analytik, TU-Wien
85	Amerlügen	09°36'29"	47°12'29"	770	4/01-8/03	Institut für chemische Technologien und Analytik, TU-Wien
Burgenland						
91	Illmitz	16°46'08"	47°46'12"	117	8/83-12/09	Umweltbundesamt

II. Chemische Analysen

Im Analysenlabor des Landes Tirol (SG. Chemisch- technische Umweltschutzanstalt; CTUA) wird der pH-Wert (Maß für die Azidität) mit der pH - Einstabmesskette Typ WTW-Sentix 41 bzw. WTW-Sentix 81 und dem WTW pH-Meter Typ 540 bestimmt. Die elektrische Leitfähigkeit wird mit der Elektrode LR325/01 ebenfalls mit dem Grundgerät WTW-540 bei der Bezugstemperatur 25° C erfasst.

Die Analyse der Anionen Chlorid, Nitrat und Sulfat erfolgt ionenchromatographisch mit dem Grundgerät Metrohm IC 861 mit Sampler 838 auf einer Trennsäule Metrosep A Supp 4 mit isokratischer Trennung. Als Laufmittel wird ein Na₂CO₃/NaHCO₃-Puffer eingesetzt, die Probenschleife fasst 25 µL. Die Analyse der Kationen Natrium, Kalium, Calcium und Magnesium erfolgt mit einem ICP-OES-Spektrometer des Typs Thermo iCAP 7400. Die Analyse des Kations Ammonium erfolgt spektrophotometrisch über ein Continuous-Flow-System (CFA, 2-Channel Photometer der Fa. Skalar). Eine Liste der Verfahrenskenndaten sowie der qualitätssichernden Maßnahmen des Analysenlabors ist in den Tabellen A 20 und A 21 dargestellt. Bei Werten kleiner der Nachweisgrenze wurde die halbe Nachweisgrenze als „Maximalabschätzung“ für die weiteren Berechnungen eingesetzt.

Durch Kontamination können die im Labor eingelangten Niederschlagsproben unbrauchbar geworden sein. Neben sichtbaren Verunreinigungen im Niederschlagswasser werden Verunreinigungen der Proben meist bei der chemischen Analyse, oder der nachfolgenden Auswertung erkannt. Die bestimmten Konzentrationswerte für Anionen und Kationen sowie die gemessenen pH- und Leitfähigkeitswerte werden über die Ionenbilanz (positive gegen negative Ladungen) und die Leitfähigkeitsbilanz (berechnete gegen gemessene Leitfähigkeit) geprüft, um auffällige Werte erkennen zu können. Zusätzlich werden die Daten noch über eine Gegenüberstellung der Leitfähigkeits- und Ionenbilanz¹ überprüft. Für auffällige Datenpunkte wird kontrolliert, ob es eine zeitliche Übereinstimmung mit bekannten Ereignissen gibt, welche die Ionenkonzentrationen in den Regenproben beeinflussen können. Solche Ereignisse können natürlichen Ursprung haben, wie zum Beispiel den Ferntransport von Wüstenstaub. In diesem Fall sind die Daten jedenfalls im Datensatz zu belassen. Es kann aber auch eine Beeinflussung durch lokale Quellen vorliegen, wodurch die Repräsentativität der Messungen nicht mehr gegeben ist. Beispiele dafür wären Verunreinigungen durch Bautätigkeiten, den Winterdienst, landwirtschaftliche Aktivitäten, die in unmittelbarer Nähe der Sammeleinheit stattfinden und die Probenahme daher überproportional beeinflussen, sowie Verunreinigungen durch Tiere oder das Handling bei der Probenahme. Wenn eine offensichtliche lokale Beeinflussung vorliegt, werden die Analysendaten markiert und aus den weiteren Berechnungen ausgeschlossen. In der gegenständlichen Untersuchungsperiode wurden folgende Proben als verunreinigt ausgewiesen. In Höfen wurde die gesamte Probe des 30.01., 01.02. und 02.02.2023 aus der Auswertung ausgeschlossen, da eine Verunreinigung durch den Winterdienst wahrscheinlich ist. An den Messstationen Niederndorferberg und Innervillgraten wurden keine Proben aus der Auswertung ausgeschlossen.

¹ Miles L.J., Yost K.J. (1982) *Quality analysis of USGS precipitation chemistry data for New York, Atmospheric Environment* 16, 2889-2898.

Tabelle A 20: Messverfahren (nach DIN 32645) und qualitätssichernde Maßnahmen

Parameter	Bereich	Verfahren	BG soll	BG ist (mg/L)	UA in mg/L	VB(UA) in mg/L	OA in (mg/L)	Einheit	KS-1, soll in mg/l	Mittlere WFR KS-1 ist	KS-2	Mittlere WFR KS-2 ist	KS-3	Mittlere WFR KS-3 ist
Natrium	1.	ICP-OES	0,05	0,0173	0,05	0,00499	0,5	mg/L	0,05	0,050	0,25	0,250	0,5	0,499
	2.	ICP-OES	0,5	0,2299	0,5	0,07464	5,0	mg/L	0,5	0,501	2,5	2,487	5,0	4,997
Kalium	1.	ICP-OES	0,05	0,0191	0,05	0,00557	0,5	mg/L	0,05	0,050	0,25	0,250	0,5	0,497
	2.	ICP-OES	0,5	0,3853	0,5	0,12651	5,0	mg/L	0,5	0,490	2,5	2,491	5,0	4,961
Magnesium	1.	ICP-OES	0,01	0,0061	0,01	0,00199	0,1	mg/L	0,01	0,010	0,05	0,050	0,1	0,100
	2.	ICP-OES	0,1	0,0505	0,10	0,01642	1,0	mg/L	0,1	0,099	0,5	0,502	1	1,000
Kalzium	1.	ICP-OES	0,05	0,0373	0,05	0,01223	0,5	mg/L	0,05	0,049	0,25	0,250	0,5	0,496
	2.	ICP-OES	0,5	0,3430	0,5	0,41342	5,0	mg/L	0,5	0,491	2,5	2,490	5	4,959
Chlorid	1.	IC	< 0,1	0,0358	0,10	0,015	1,2	mg/L	0,20	0,21	1,0	1,00		
	2.	IC	< 1,0	0,2040	1,00	0,058	10,0	mg/L	1,0	1,09	10	10,0		
Nitrat	1.	IC	< 0,1	0,0227	0,10	0,010	1,2	mg/L	0,20	0,20	1,0	1,02		
	2.	IC	< 1,0	0,2440	1,00	0,068	10,0	mg/L	1,0	1,07	10	10,0		
Sulfat	1.	IC	< 0,1	0,0395	0,10	0,017	1,2	mg/L	0,20	0,20	1,0	1,01		
	2.	IC	< 1,0	0,2270	1,00	0,063	10,0	mg/L	1,0	1,04	10	9,98		
Ammonium		Photometrie-CFA	0,0070	0,0060	0,006	0,0017	0,24	mg/L	0,120	90-110				
pH		Einstabmesskette	-		1	-	14	-	4,00	3,98	7,00	6,98		
Leitfähigkeit		Reinstwasser-elektrode	-		0,001	-	200	µS/cm	37	37,9	147	146,5		

Legende: BG: Bestimmungsgrenze, UA: untere Grenze des Arbeitsbereiches, OA: obere Grenze des Arbeitsbereiches, KS-1: Kontrollstandard 1, mittlere WFR KS-1: mittlere Wiederfindungsrate von Kontrollstandard 1 (Regelkarte), Bereich: Kalibrierbereich; VB(UA): Vertrauensbereich an der unteren Arbeitsbereichsgrenze.

Tabelle. A 21: Messverfahren (nach DIN 32645) und qualitätssichernde Maßnahmen

Parameter	Bereich	Kalibration pro Serie	Mehrfachbestimmungen	Blindwert pro Serie	Standards pro Serie	Art der Kontrollkarten
Natrium	1.	≥7	10 %	1	3	Mittelwertregelkarte für Blindwert, Kontrollstandards
	2.	≥7	10 %	1	3	Mittelwertregelkarte für Blindwert, Kontrollstandards, Aufstockung
Kalium	1.	≥7	10 %	1	3	Mittelwertregelkarte für Blindwert, Kontrollstandards
	2.	≥7	10 %	1	3	Mittelwertregelkarte für Blindwert, Kontrollstandards, Aufstockung
Magnesium	1.	≥7	10 %	1	3	Mittelwertregelkarte für Blindwert, Kontrollstandards
	2.	≥7	10 %	1	3	Mittelwertregelkarte für Blindwert, Kontrollstandards, Aufstockung
Kalzium	1.	≥7	10 %	1	3	Mittelwertregelkarte für Blindwert, Kontrollstandards
	2.	≥7	10 %	1	3	Mittelwertregelkarte für Blindwert, Kontrollstandards, Aufstockung
Chlorid	1.	≥4	5 % *	1	3	Mittelwertregelkarte für Kontrollstandards
	2.	≥4	5 % *	1	3	Mittelwertregelkarte für Kontrollstandards
Nitrat	1.	≥4	5 % *	1	3	Mittelwertregelkarte für Kontrollstandards
	2.	≥4	5 % *	1	3	Mittelwertregelkarte für Kontrollstandards
Sulfat	1.	≥4	5 % *	1	3	Mittelwertregelkarte für Kontrollstandards
	2.	≥4	5 % *	1	3	Mittelwertregelkarte für Kontrollstandards
Ammonium	1.	≥7	10 %	2	Nach jeder 10.Probe	Blindwert, Kontrollstandards, Aufstockung, MW, Regelkarten
pH		2	-	-	2	Mittelwertregelkarte für Kontrollstandards
Leitfähigkeit		0 **	-	-	2	Mittelwertregelkarte für Kontrollstandards

*: Anzahl der Mehrfachbestimmungen hängt vom angelieferten Probenvolumen ab.

** : lt. Betriebsanleitung WTW nicht erforderlich, wird aber jede Serie überprüft.

III. Ergebnisse der Jahresmittel, Halbjahresmittel und Quartalsmittel

Tabelle A 22: Mengengewichtete Halbjahresmittelwerte der Konzentration an Niederschlagsinhaltsstoffen für den Zeitraum 01.01.2023 bis 31.12.2023

Halbjahr	NS	pH	H ⁺	Na ⁺	NH ₄ ⁺ -N	K ⁺	Ca ²⁺	Mg ²⁺	Cl ⁻	NO ₃ ⁻ -N	SO ₄ ²⁻ -S	
	[mm]	[-]	[µg/L]				[mg/L]					
Höfen												
Winter	735,2	5,7	1,78	0,10	0,14	0,04	0,50	0,11	0,15	0,10	0,11	
Sommer	794,6	5,6	2,37	0,07	0,33	0,04	0,42	0,07	0,10	0,19	0,12	
Niederndorferberg												
Winter	554,6	5,4	4,04	0,11	0,24	0,06	0,14	0,02	0,18	0,18	0,07	
Sommer	881,4	5,7	2,21	0,13	0,41	0,07	0,28	0,03	0,16	0,20	0,14	
Innervillgraten												
Winter	297,0	5,7	2,10	0,13	0,19	0,04	0,17	0,02	0,07	0,09	0,06	
Sommer	615,3	5,7	2,22	0,06	0,39	0,11	0,22	0,03	0,11	0,15	0,14	

Tabelle A 23: Halbjährliche nasse Deposition der Niederschlagsinhaltsstoffe für den Zeitraum 01.01.2023 bis 31.12.2023

Halbjahr	NS	pH	H ⁺	Na ⁺	NH ₄ ⁺ -N	K ⁺	Ca ²⁺	Mg ²⁺	Cl ⁻	NO ₃ ⁻ -N	SO ₄ ²⁻ -S	
	[mm]	[-]	[g/ha]				[kg/ha]					
Höfen												
Winter	735,2	5,7	13,08	0,72	1,07	0,26	3,69	0,80	1,09	0,76	0,77	
Sommer	794,6	5,6	18,80	0,59	2,60	0,33	3,31	0,54	0,82	1,49	0,99	
Niederndorferberg												
Winter	554,6	5,4	22,39	0,58	1,34	0,36	0,79	0,11	0,98	0,99	0,38	
Sommer	881,4	5,7	19,47	1,11	3,60	0,59	2,49	0,25	1,44	1,80	1,27	
Innervillgraten												
Winter	297,0	5,7	6,23	0,37	0,56	0,13	0,50	0,05	0,22	0,26	0,17	
Sommer	615,3	5,7	13,64	0,37	2,42	0,68	1,37	0,19	0,67	0,94	0,88	

Tabelle A 24: Mengengewichtete Vierteljahresmittelwerte der Konzentration an Niederschlagsinhaltsstoffen für den Zeitraum 01.01.2023 bis 31.12.2023

Saison	NS	pH	H ⁺	Na ⁺	NH ₄ ⁺ -N	K ⁺	Ca ²⁺	Mg ²⁺	Cl ⁻	NO ₃ ⁻ -N	SO ₄ ²⁻ -S
	[mm]	[-]	[µg/L]				[mg/L]				
Höfen											
Winter	238,0	5,6	2,42	0,14	0,24	0,04	1,00	0,22	0,21	0,16	0,18
Frühjahr	321,9	5,3	4,86	0,07	0,41	0,04	0,42	0,08	0,11	0,24	0,15
Sommer	472,8	6,2	0,67	0,07	0,27	0,04	0,42	0,06	0,10	0,16	0,11
Herbst	497,2	5,8	1,47	0,08	0,10	0,03	0,26	0,06	0,12	0,08	0,07
Niederndorferberg											
Winter	174,3	5,5	3,40	0,14	0,39	0,06	0,22	0,04	0,26	0,25	0,10
Frühjahr	359,1	5,4	4,35	0,07	0,47	0,07	0,35	0,03	0,11	0,24	0,17
Sommer	522,3	6,1	0,74	0,16	0,36	0,06	0,23	0,03	0,20	0,18	0,13
Herbst	380,3	5,4	4,33	0,09	0,17	0,07	0,11	0,01	0,14	0,15	0,05
Innervillgraten											
Winter	61,2	5,4	3,92	0,04	0,44	0,04	0,16	0,03	0,08	0,21	0,09
Frühjahr	184,0	5,4	4,24	0,06	0,63	0,15	0,18	0,04	0,11	0,15	0,16
Sommer	431,3	5,9	1,35	0,06	0,29	0,09	0,24	0,03	0,11	0,15	0,14
Herbst	235,8	5,8	1,62	0,15	0,13	0,04	0,17	0,01	0,07	0,05	0,05

Tabelle A 25: Vierteljährliche nasse Deposition der Niederschlagsinhaltsstoffe für den Zeitraum 01.01.2023 bis 31.12.2023

Saison	NS	pH	H ⁺	Na ⁺	NH ₄ ⁺ -N	K ⁺	Ca ²⁺	Mg ²⁺	Cl ⁻	NO ₃ ⁻ -N	SO ₄ ²⁻ -S
	[mm]	[-]	[g/ha]				[kg/ha]				
Höfen											
Winter	238,0	5,6	5,76	0,32	0,57	0,10	2,37	0,52	0,50	0,38	0,42
Frühjahr	321,9	5,3	15,64	0,23	1,32	0,14	1,35	0,24	0,37	0,76	0,49
Sommer	472,8	6,2	3,16	0,35	1,29	0,19	1,96	0,30	0,45	0,73	0,50
Herbst	497,2	5,8	7,31	0,40	0,50	0,16	1,32	0,29	0,59	0,38	0,35
Niederndorferberg											
Winter	174,3	5,5	5,92	0,25	0,69	0,11	0,39	0,07	0,46	0,44	0,17
Frühjahr	359,1	5,4	15,62	0,26	1,70	0,27	1,27	0,11	0,39	0,86	0,61
Sommer	522,3	6,1	3,85	0,85	1,90	0,32	1,22	0,14	1,05	0,94	0,66
Herbst	380,3	5,4	16,47	0,34	0,66	0,25	0,40	0,04	0,52	0,56	0,21
Innervillgraten											
Winter	61,2	5,4	2,40	0,03	0,27	0,02	0,10	0,02	0,05	0,13	0,05
Frühjahr	184,0	5,4	7,80	0,11	1,15	0,27	0,32	0,07	0,20	0,27	0,30
Sommer	431,3	5,9	5,84	0,27	1,26	0,40	1,05	0,12	0,48	0,66	0,59
Herbst	235,8	5,8	3,83	0,35	0,30	0,10	0,40	0,04	0,17	0,13	0,12

Tabelle A 26: Mengengewichtete Jahresmittelwerte der Konzentration an Niederschlagsinhaltsstoffen für den Zeitraum 01.01.2023 bis 31.12.2023

NS	pH	H ⁺	Na ⁺	NH ₄ ⁺	NH ₄ ⁺ -N	K ⁺	Ca ²⁺	Mg ²⁺	Cl ⁻	NO ₃ ⁻	NO ₃ ⁻ -N	SO ₄ ²⁻	SO ₄ ²⁻ -S
[mm]	[-]						[µval/L]						
Höfen													
1529,9	5,7	2,08	3,71	17,14	17,14	1,00	22,88	7,24	3,53	10,48	10,48	7,19	7,19
Niederndorferberg													
1436,0	5,5	2,91	5,13	24,59	24,59	1,69	11,41	2,07	4,74	13,87	13,87	7,18	7,18
Innervillgraten													
912,3	5,7	2,18	3,54	23,34	23,34	2,26	10,26	2,17	2,76	9,35	9,35	7,22	7,22

Tabelle A 27: Bundesländervergleich der am CTA ausgewerteten mengengewichteten Jahresmittelwerte der Konzentration an Niederschlagsinhaltsstoffen für den Zeitraum 01.01.2023 bis 31.12.2023; *Die Station Grundlsee (Steiermark) nur bis August 2023 in Betrieb

Station	NS	pH	H ⁺	Na ⁺	NH ₄ ⁺ -N	K ⁺	Ca ²⁺	Mg ²⁺	Cl ⁻	NO ₃ ⁻ -N	SO ₄ ²⁻ -S
	[mm]	[-]					[µval/L]				
Tirol:											
Höfen	1530	5,7	2,1	3,7	17,1	1,0	22,9	7,2	3,5	10,5	7,2
Niederndorferberg	1436	5,5	2,9	5,1	24,6	1,7	11,4	2,1	4,7	13,9	7,2
Innervillgraten	912	5,7	2,2	3,5	23,3	2,3	10,3	2,2	2,8	9,3	7,2
Salzburg:											
Haunsberg	911	6,2	0,6	18,9	60,1	4,5	21,2	10,9	8,1	27,5	14,3
Sonnblick	2091	5,4	4,5	1,9	9,1	0,5	5,4	1,1	1,7	6,2	3,4
Niederösterreich:											
Hollabrunn	567	5,3	4,7	5,3	29,9	1,4	17,7	4,1	4,5	19,9	13,5
Litschau	492	5,2	6,3	5,6	16,3	2,7	11,1	2,1	5,0	10,8	9,1
Lunz	1625	5,2	5,7	5,6	11,6	0,8	11,9	2,6	5,2	13,3	8,7
Hofamt Priel	970	5,4	4,4	9,1	33,8	2,5	17,2	5,9	6,1	20,1	17,9
Steiermark:											
Arnfels	1252	5,6	2,7	4,6	22,3	1,3	11,5	2,0	3,3	13,0	12,1
Grundlsee*	789	5,8	1,4	4,9	29,6	1,9	13,8	2,9	4,7	15,9	9,2
Klöch	991	5,5	3,5	4,9	23,1	1,5	13,8	4,2	3,9	14,7	14,7
Masenberg	608	5,6	2,5	6,5	27,9	3,9	17,6	4,3	5,1	13,9	14,4

IV. Statistische Verteilung der Tagesmesswerte

Zur Beschreibung der asymmetrischen Verteilungen der Messwerte eignen sich Perzentilwerte und davon abgeleitete Parameter als Lokalisations- und Dispersionsmaßzahlen.

Als n-ter Perzentilwert ist der Wert definiert, der größer als n % der Werte der Grundgesamtheit ist. Der in der Literatur am häufigsten genannte Perzentilwert ist der Median oder Zentralwert der Verteilung. Die Hälfte aller Messwerte ist kleiner als der Median. Bei der gegebenen großen Probenzahl und der Form der Häufigkeitsverteilung haben Ausreißer keinen wesentlichen Einfluss auf den Median. Als Maß der Dispersion der Verteilungen wurden von Perzentilwerten abgeleitete Streuungsmaßzahlen berechnet. Die Dispersionsmaßzahlen charakterisieren die Streuung der Verteilungen. Die Differenz zwischen dem größten und dem kleinsten Messwert gibt den Range oder die Spannweite der Werte an. Im Bereich zwischen 10. und 90. Perzentil liegen 80 % aller Messwerte. Dieser Kelley-Range ist wesentlich robuster gegen Ausreißer als der Range. Die Quartilsdifferenz und der Dispersionskoeffizient beschreiben ebenfalls die Streuung der Messwerte. Als relative Werte können die Dispersionskoeffizienten verschiedener Ionen miteinander verglichen werden. Tabelle A 28 beschreibt die verwendeten Abkürzungen der in der Folge berechneten statistischen Maßzahlen.

Besonders häufig werden Medianwerte zur Charakterisierung von Messwerten verwendet, da diese von einzelnen Maximalwerten geringer beeinflusst werden als Mittelwerte. Die Mediane der Verteilungen der Schwefel- und Stickstoffkomponenten betragen für die Stationen Höfen, Niederndorferberg und Innervillgraten 0,10, 0,11 und 0,10 mg Sulfat-Schwefel pro Liter, 0,16, 0,20 und 0,13 mg Nitrat-Stickstoff pro Liter und 0,25, 0,33 und 0,31 mg Ammonium-Stickstoff pro Liter.

Tabelle A 28: Abkürzungen der berechneten statistischen Maßzahlen

Lokalisationsmaßzahlen	
Minimum	kleinster beobachteter Wert
10. Perzentil	10 Prozent der Beobachtungswerte sind kleiner als der 10. Perzentil
unteres Quartil	ein Viertel der Beobachtungswerte ist kleiner als das untere Quartil
Median	50 Prozent der Beobachtungswerte sind kleiner als der Median
oberes Quartil	75 Prozent der Beobachtungswerte sind kleiner als das obere Quartil
90. Perzentil	90 Prozent der Beobachtungswerte sind kleiner als der 90. Perzentil
Maximum	größter beobachteter Wert
Dispersionsmaßzahlen	
Range	Differenz zwischen Minimum und Maximum
Kelley-Range	Differenz zwischen dem 90. und dem 10. Perzentil
Quartilsdifferenz	Differenz zwischen dem oberen und dem unteren Quartil
Dispersionskoeff.	Quartilsdifferenz bezogen auf den Median

Tabelle A 29: Statistische Maßzahlen der Niederschlagsmengen- und Ionenkonzentrationsverteilungen für den Zeitraum 01.01.2023 bis 31.12.2023, Station: **Höfen**

Maßzahl	NS	Leitf.	pH	H ⁺	Na ⁺	NH ₄ ⁺ -N	K ⁺	Ca ²⁺	Mg ²⁺	Cl ⁻	NO ₃ ⁻ -N	SO ₄ ²⁻ -S
	[mm]	[µS/cm]	[-]	[µg/L]	[mg/L]							
Minimum	0,2	1,5	4,7	0,06	0,01	0,00	0,01	0,06	0,01	0,05	0,00	0,02
10.Perzentile	1,4	2,6	5,2	0,18	0,03	0,06	0,03	0,10	0,02	0,05	0,04	0,02
untere Quartile	3,5	3,9	5,5	0,34	0,03	0,11	0,03	0,15	0,04	0,05	0,09	0,04
Median	8,4	6,7	6,1	0,54	0,07	0,25	0,03	0,27	0,07	0,05	0,16	0,10
obere Quartile	14,1	10,6	6,5	1,07	0,16	0,46	0,06	0,64	0,12	0,22	0,29	0,17
90.Perzentile	25,6	16,6	6,9	1,70	0,26	0,82	0,09	1,38	0,22	0,36	0,46	0,37
Maximum	56,6	69,9	7,4	2,57	0,73	2,09	0,29	4,64	1,03	0,98	1,04	2,91
Range	56,5	68,4	2,8	2,51	0,72	2,09	0,28	4,59	1,03	0,93	1,04	2,90
Kelley-Range	24,2	14,0	1,7	1,52	0,23	0,77	0,07	1,28	0,20	0,31	0,41	0,36
Quartilsdifferenz	10,6	6,7	1,1	0,73	0,13	0,34	0,03	0,49	0,08	0,17	0,21	0,13
Dispersionskoeff.	1,3	1,0	0,2	3,87	1,96	1,39	1,23	1,81	1,24	3,30	1,33	1,38

Tabelle A 30: Statistische Maßzahlen der Niederschlagsmengen- und Ionenkonzentrationsverteilungen für den Zeitraum 01.01.2023 bis 31.12.2023, Station: **Niederndorferberg**

Maßzahl	NS	Leitf.	pH	H ⁺	Na ⁺	NH ₄ ⁺ -N	K ⁺	Ca ²⁺	Mg ²⁺	Cl ⁻	NO ₃ ⁻ -N	SO ₄ ²⁻ -S
	[mm]	[µS/cm]	[-]	[µg/L]	[mg/L]							
Minimum	0,6	2,2	4,4	0,08	0,01	0,04	0,03	0,03	0,00	0,05	0,04	0,02
10,Perzentile	1,9	3,2	5,2	0,34	0,03	0,10	0,03	0,07	0,01	0,05	0,08	0,02
untere Quartile	3,6	4,3	5,4	0,57	0,03	0,17	0,03	0,10	0,01	0,05	0,11	0,06
Median	8,0	6,4	5,8	1,55	0,08	0,33	0,03	0,16	0,02	0,13	0,20	0,11
obere Quartile	15,3	10,0	6,2	3,98	0,16	0,51	0,08	0,32	0,05	0,23	0,32	0,16
90,Perzentile	22,0	13,3	6,5	6,76	0,31	0,83	0,13	0,61	0,08	0,46	0,50	0,28
Maximum	33,2	42,4	7,1	38,02	6,11	1,66	1,92	1,48	0,24	7,34	0,88	0,69
Range	32,6	40,2	2,7	37,94	6,10	1,63	1,90	1,45	0,24	7,29	0,84	0,68
Kelley-Range	20,0	10,1	1,3	6,42	0,28	0,73	0,10	0,54	0,07	0,41	0,42	0,26
Quartilsdifferenz	11,7	5,7	0,8	3,41	0,14	0,34	0,05	0,22	0,04	0,18	0,21	0,10
Dispersionskoeff.	1,5	0,9	0,1	2,20	1,79	1,04	2,16	1,36	1,68	1,44	1,04	0,93

Tabelle A 31: Statistische Maßzahlen der Niederschlagsmengen- und Ionenkonzentrationsverteilungen für den Zeitraum 01.01.2023 bis 31.12.2023, Station: **Innervillgraten**

Maßzahl	NS	Leitf.	pH	H ⁺	Na ⁺	NH ₄ ⁺ -N	K ⁺	Ca ²⁺	Mg ²⁺	Cl ⁻	NO ₃ ⁻ -N	SO ₄ ²⁻ -S
	[mm]	[µS/cm]	[-]	[µg/L]	[mg/L]							
Minimum	0,1	1,9	5,0	0,07	0,00	0,00	0,03	0,03	0,01	0,02	0,01	0,02
10.Perzentile	0,4	2,4	5,2	0,31	0,03	0,07	0,03	0,03	0,01	0,05	0,04	0,02
untere Quartile	0,9	3,8	5,4	0,43	0,03	0,15	0,03	0,07	0,02	0,05	0,07	0,05
Median	4,0	5,5	5,7	1,91	0,03	0,31	0,03	0,15	0,03	0,05	0,13	0,10
obere Quartile	10,1	8,3	6,4	3,89	0,10	0,66	0,09	0,31	0,05	0,14	0,22	0,19
90.Perzentile	18,1	11,6	6,5	5,89	0,19	0,95	0,20	0,49	0,07	0,21	0,36	0,27
Maximum	40,4	19,3	7,2	10,00	1,66	8,79	0,77	1,29	0,21	0,85	0,82	0,85
Range	40,4	17,4	2,2	9,93	1,66	8,79	0,74	1,26	0,20	0,83	0,80	0,84
Kelley-Range	17,7	9,2	1,3	5,58	0,16	0,88	0,18	0,47	0,06	0,16	0,32	0,25
Quartilsdifferenz	9,2	4,6	1,0	3,46	0,07	0,51	0,07	0,24	0,03	0,09	0,14	0,14
Dispersionskoeff.	2,3	0,8	0,2	1,82	2,85	1,62	2,69	1,66	1,21	1,80	1,08	1,39

V. Vergleich der aktuellen Jahressgänge mit den langjährigen Trends

Hier werden, ergänzend zu den Abbildungen 8 – 13 im Bericht, die jahreszeitlichen Verläufe der Ionen Chlorid, Kalzium, Magnesium, Natrium und Kalium dargestellt.

Konzentration Höfen 2023

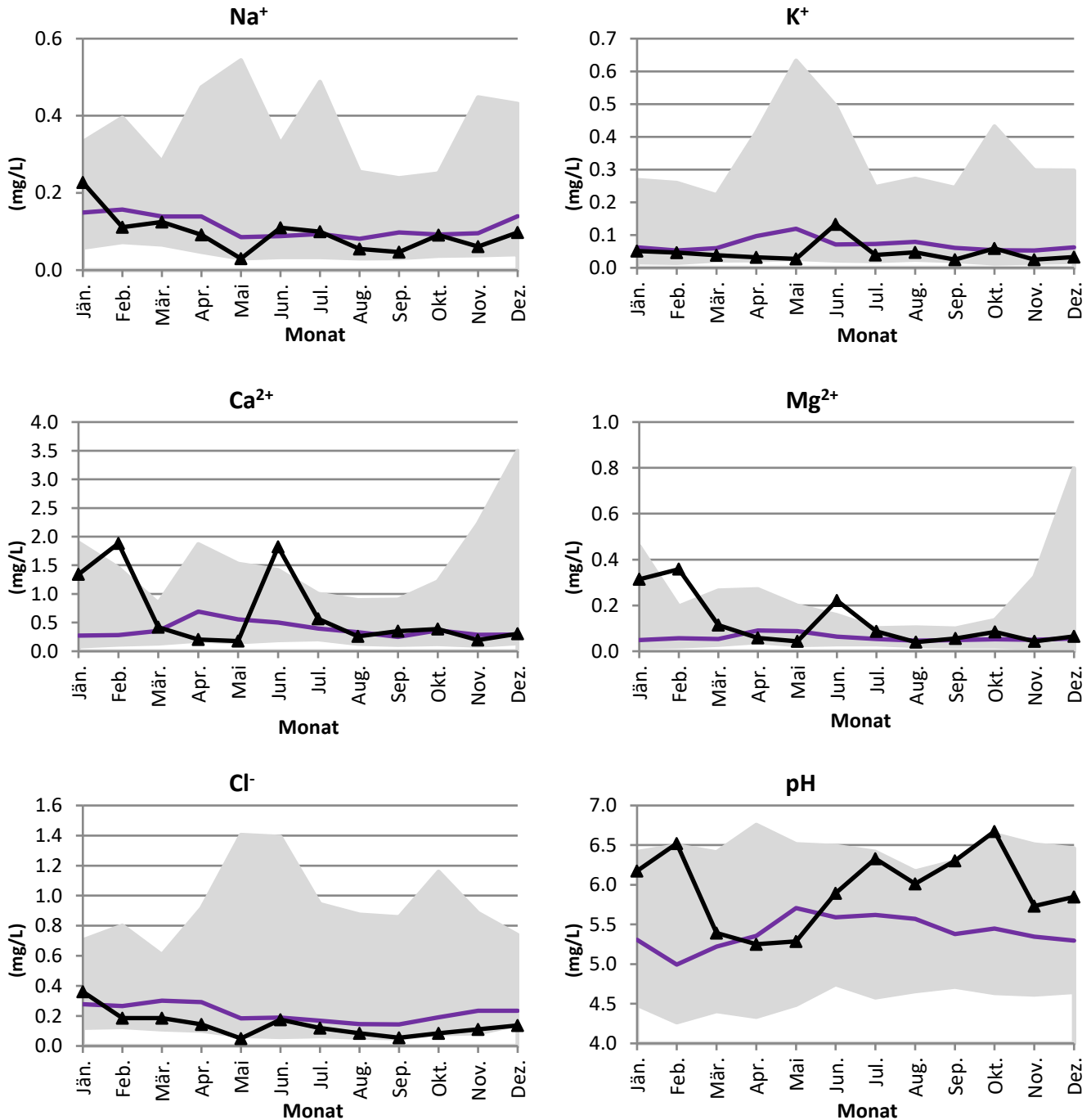


Abbildung A 37: Darstellung der mittleren monatlichen Konzentrationen der Saison 2023 (schwarze Linien) im Vergleich zu den mittleren Jahressgängen (violette Linien) der Station: **Höfen**. Die grau hinterlegte Fläche stellt den Bereich zwischen dem 3%- und dem 97%-Perzentilwert aller bisher beobachteten Monatsmittelwerte dar. Im März war aufgrund der geringen Niederschlagsmenge keine vollständige chemische Analyse möglich.

Deposition Höfen 2023

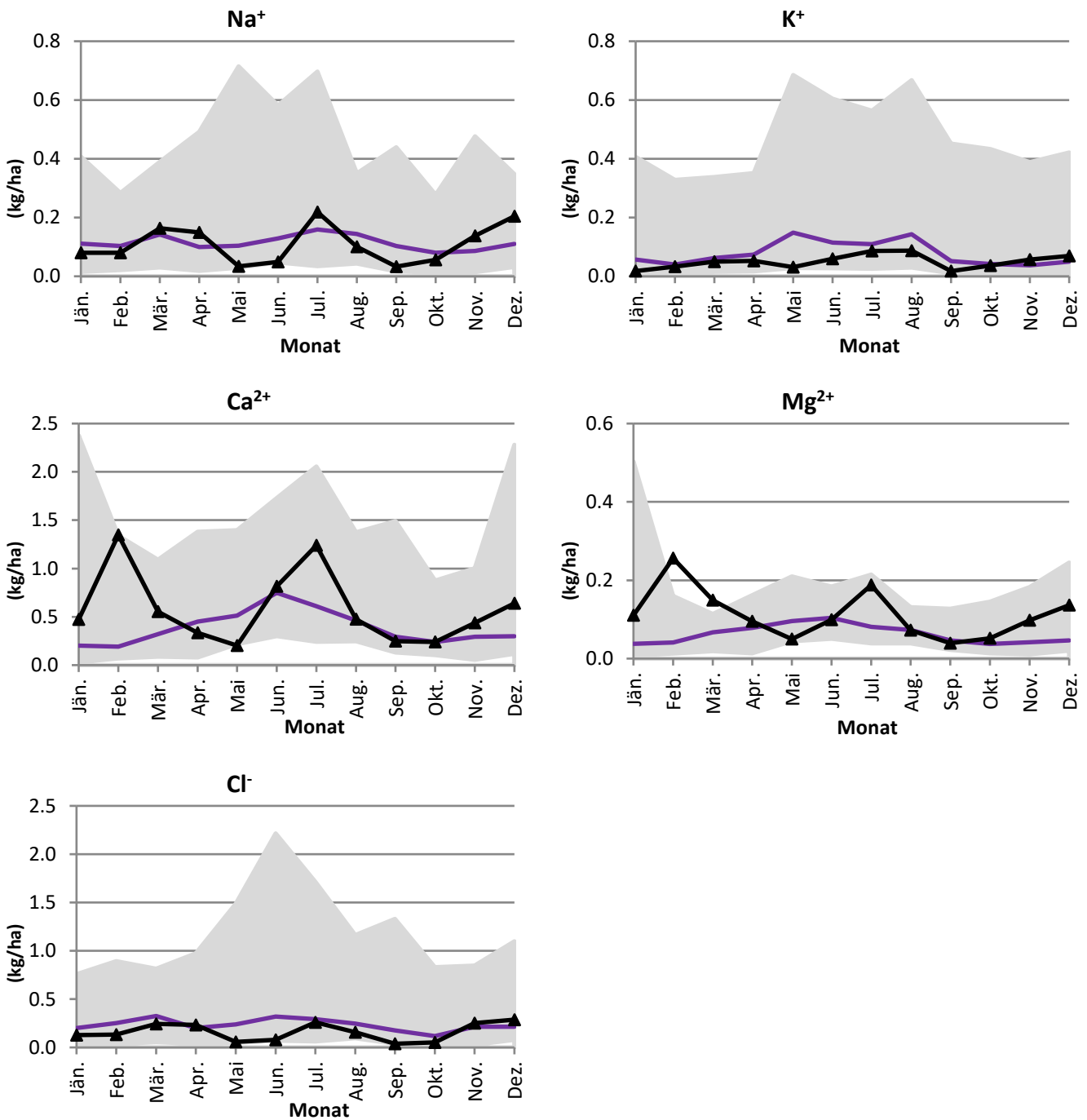


Abbildung A 38: Darstellung der mittleren monatlichen Deposition der Saison 2023 (schwarze Linie) im Vergleich zu den mittleren Jahrgängen (violette Linie) der Station: **Höfen**. Die grau hinterlegte Fläche stellt den Bereich zwischen dem 3%- und dem 97%-Perzentilwert aller bisher beobachteten Monatsmittelwerte dar. Im März war aufgrund der geringen Niederschlagsmenge keine vollständige chemische Analyse möglich.

Konzentration Niederndorferberg 2023

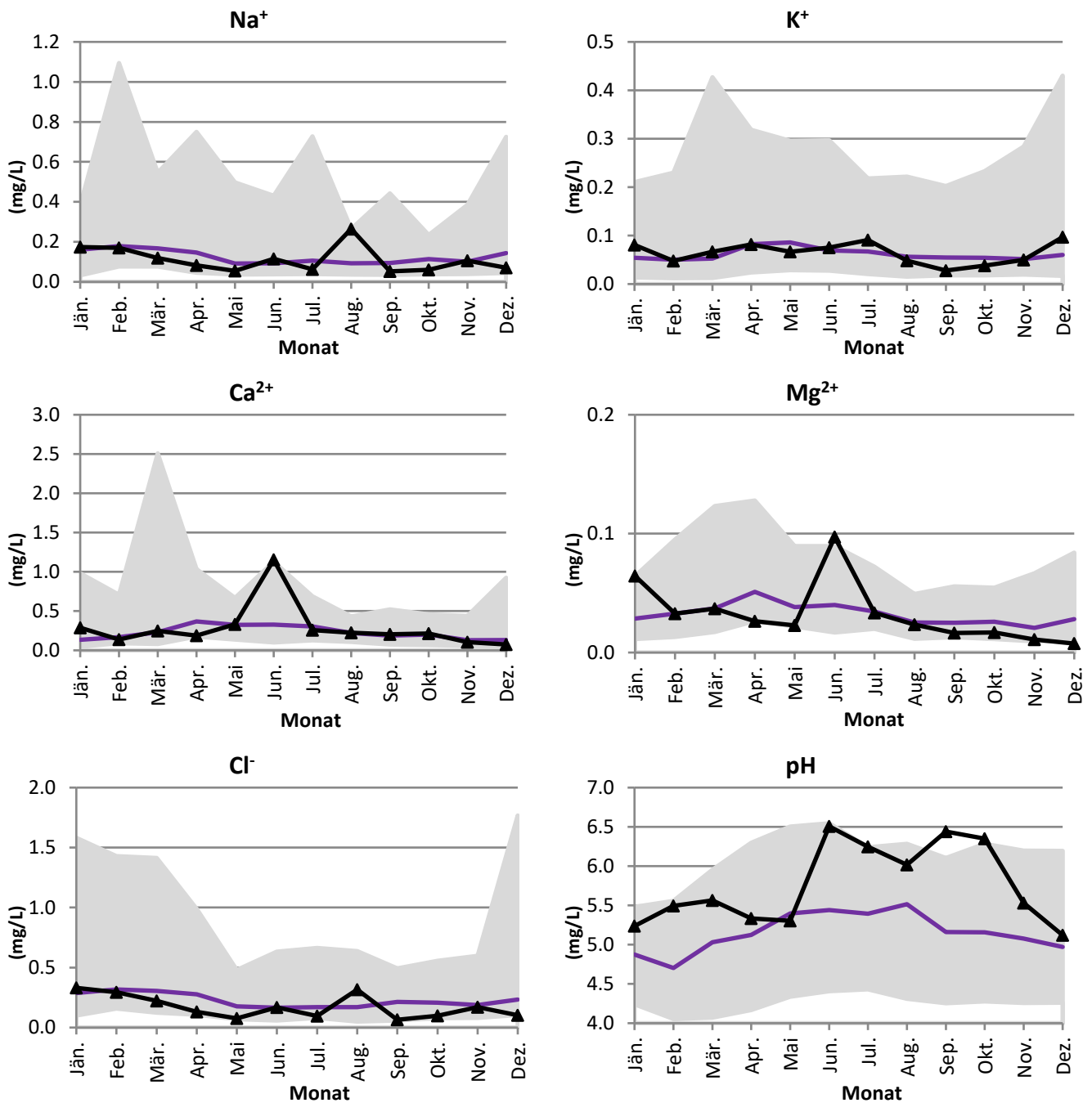


Abbildung A 39: Darstellung der mittleren monatlichen Konzentrationen der Saison 2023 (schwarze Linie) im Vergleich zu den mittleren Jahrgängen (violette Linie) der Station: **Niederndorferberg**. Die grau hinterlegte Fläche stellt den Bereich zwischen dem 3%- und dem 97%-Perzentilwert aller bisher beobachteten Monatsmittelwerte dar.

Deposition Niederndorferberg 2023

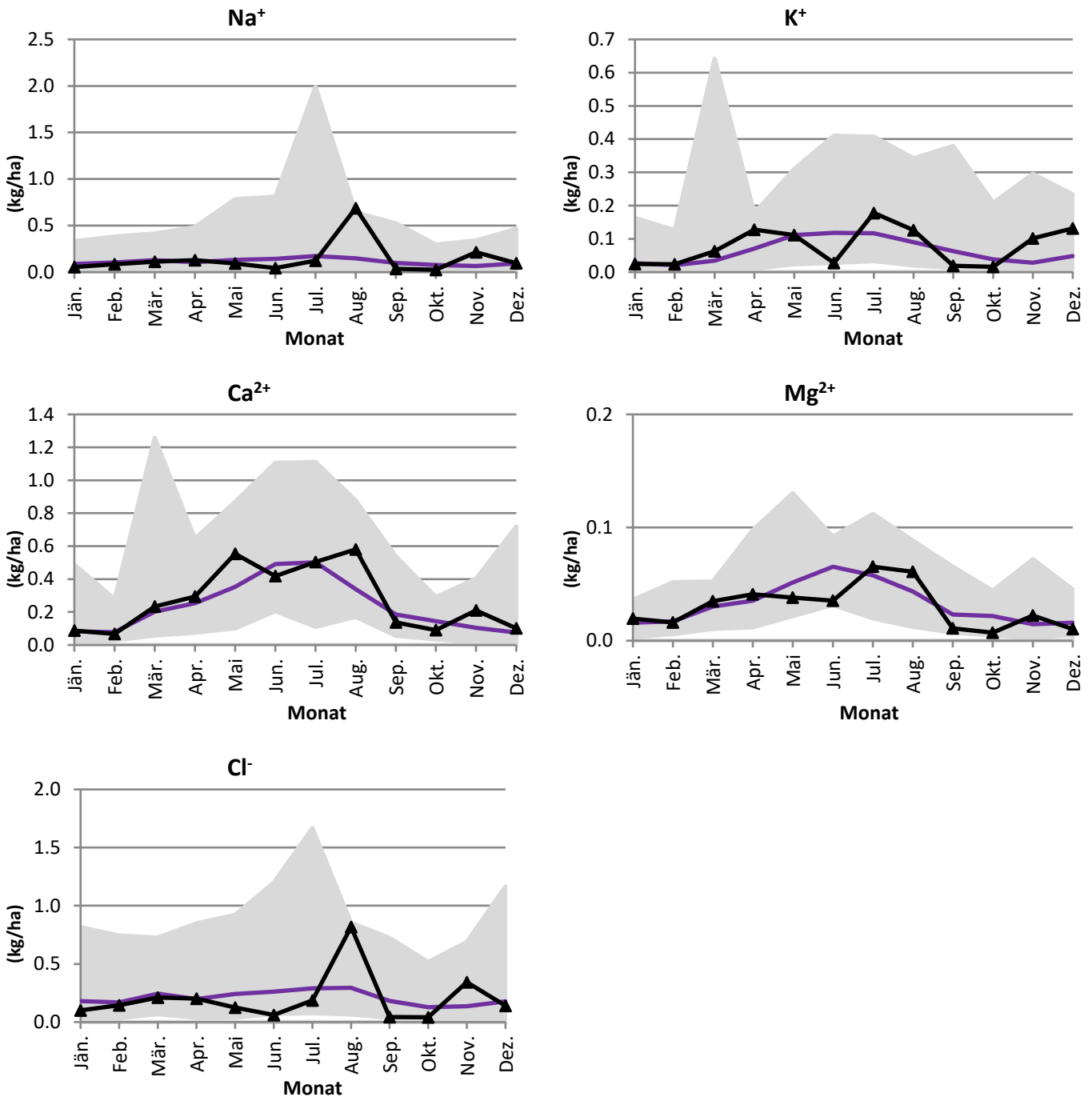


Abbildung A 40: Darstellung der mittleren monatlichen Depositionen der Saison 2023 (schwarze Linie) im Vergleich zu den mittleren Jahrgängen (violette Linie) der Station: **Niederndorferberg**. Die grau hinterlegte Fläche stellt den Bereich zwischen dem 3%- und dem 97%-Perzentilwert aller bisher beobachteten Monatsmittelwerte dar.

Konzentration Innervillgraten 2023

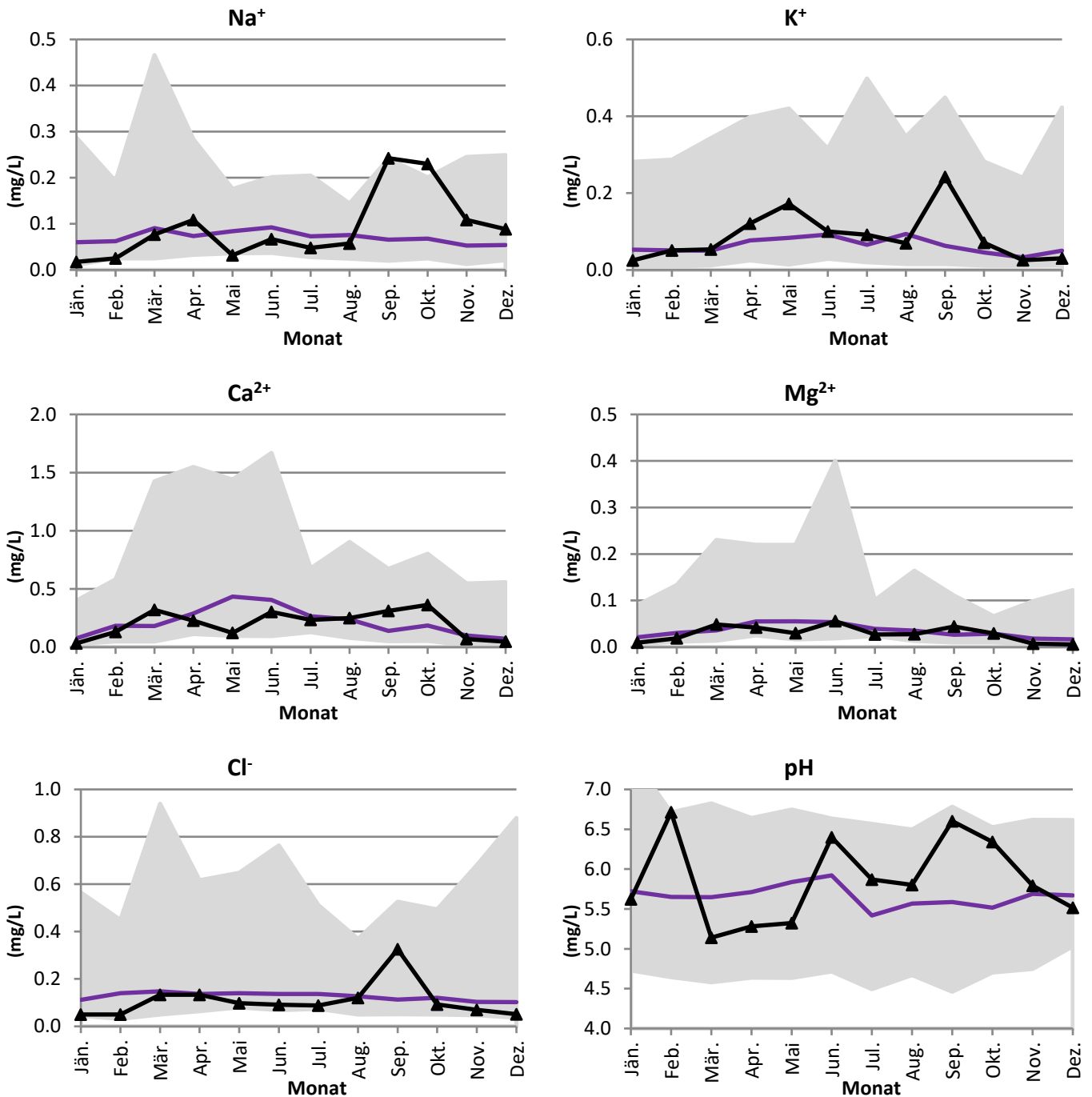


Abbildung A 41: Darstellung der mittleren monatlichen Konzentrationen der Saison 2023 (schwarze Linie) im Vergleich zu den mittleren Jahressgängen (violette Linie) der Station: Innervillgraten. Die grau hinterlegte Fläche stellt den Bereich zwischen dem 3%- und dem 97%-Perzentilwert aller bisher beobachteten Monatsmittelwerte dar.

Deposition Innervillgraten 2023

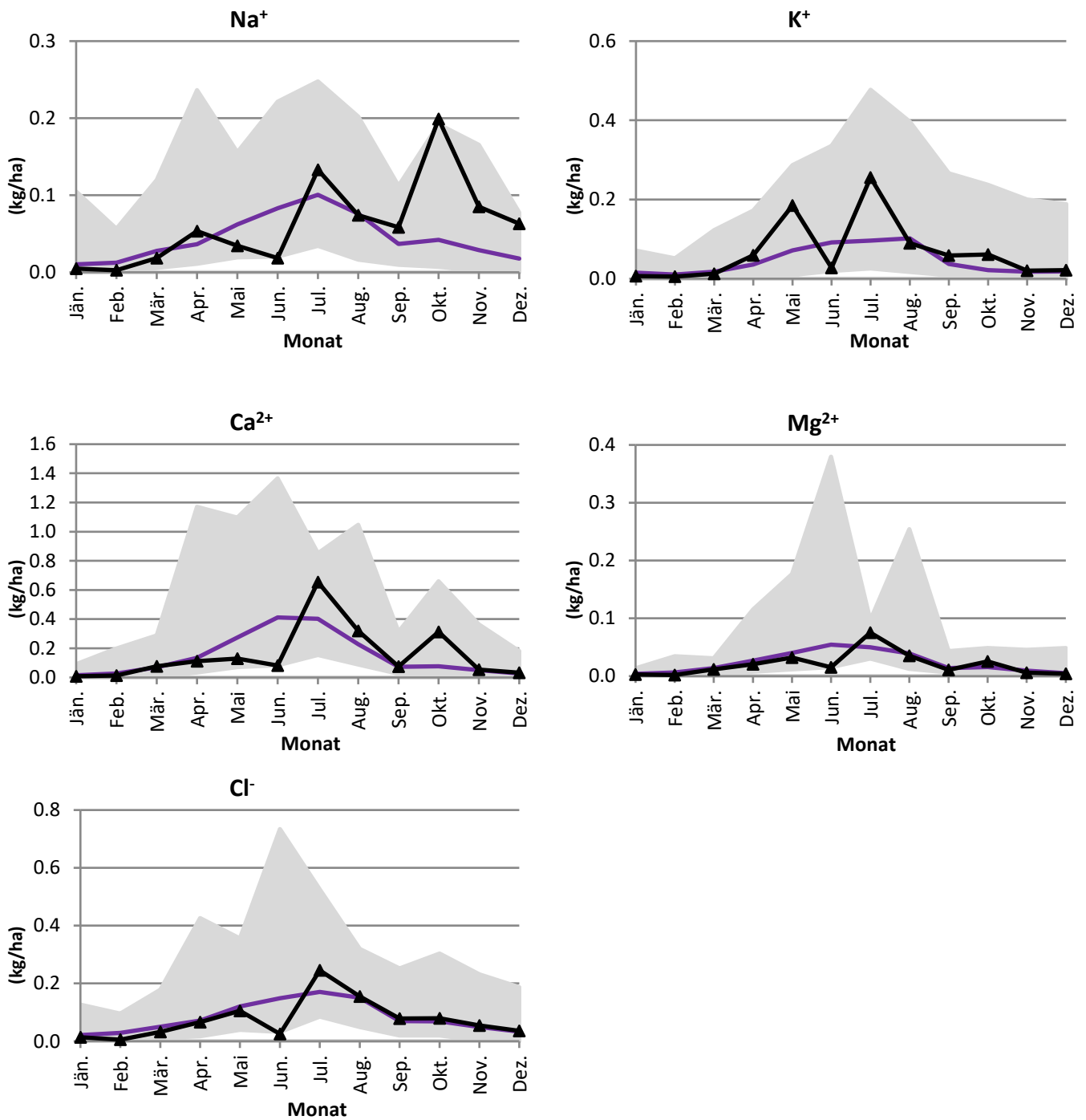


Abbildung A 42: Darstellung der mittleren monatlichen Depositionen der Saison 2023 (schwarze Linie) im Vergleich zu den mittleren Jahresgängen (violette Linie) der Station: **Innervillgraten**. Die grau hinterlegte Fläche stellt den Bereich zwischen dem 3%- und dem 97%-Perzentilwert aller bisher beobachteten Monatsmittelwerte dar.

Die Konzentrationswerte und Stoffeinträge der basischen Kationen und von Chlorid sind besonders stark von kurzfristigen Ereignissen (z.B. dem Auftreten von Mineralstaub) geprägt. An den Stationen Höfen und Niederndorferberg kann im Juni eine Erhöhung der Konzentrationswerte für Calcium und Magnesium beobachtet werden. Diese Erhöhung ergab sich zeitgleich mit einem Ferntransport von Wüstenstaub. Aufgrund der geringen Niederschlagsmengen steigen die Konzentrationswerte viel deutlicher an als die Depositionswerte. In Innervillgraten kann in Juli eine Erhöhung der Depositionswerte mehrerer Komponente beobachtet werden, diese Erhöhung kann auf die hohe Niederschlagsmenge in diesem Monat zurückgeführt werden.

VI. Verzeichnis der Tagesproben

Innervillgraten 2023

Datum TT/MM/JJ	Vol. [mm]	Leitf. [µS/cm]	pH [-]	Na+	NH4+	K+	Cl- [mg/L]	NO3-	SO42-	Ca2+	Mg2+	Anmerkung
09.01.2023	6,1	3,7	5,92	0,03	0,40	0,03	0,05	0,30	0,05	0,03	0,02	SDE
10.01.2023	0,8				0,57							1)
12.01.2023	0,6											2)
16.01.2023	4,9	2,9	5,57	0,03	0,26	0,03	0,05	0,51	0,05	0,06	0,01	
17.01.2023	2,3	3,2	5,72	0,01	0,39	0,03	0,05	0,60	0,05	0,03	0,01	
18.01.2023	0,7				0,85							1)
19.01.2023	0,1											2)
23.01.2023	0,6											2)
24.01.2023	10,7	2,3	5,52	0,01	0,22	0,03	0,05	0,32	0,05	0,03	0,01	SDE
02.02.2023	0,2											2)
03.02.2023	6,8	2,5	6,97	0,03	0,12	0,06	0,05	0,18	0,18	0,15	0,03	
04.02.2023	3,1	8,9	6,42	0,03	1,17	0,03	0,05	0,33	0,25	0,09	0,01	
27.02.2023	0,4				2,66							1)
02.03.2023	3,8	8,1	5,09	0,06	0,23	0,03	0,15	0,74	0,74	0,80	0,07	SDE
07.03.2023	2,4	15,0	5,10	0,13	1,19	0,07	0,19	3,61	0,79	0,31	0,05	SDE
14.03.2023	3,6	9,6	5,41	0,08	0,87	0,03	0,16	1,18	0,26	0,20	0,06	
15.03.2023	1,4			0,08	0,85	0,07	0,16	1,10	0,26	0,18	0,06	
25.03.2023	5,8	15,9	5,05	0,10	1,40	0,09	0,13	3,57	0,75	0,27	0,04	
26.03.2023	0,4				1,58							1)
27.03.2023	4,3	4,2	5,10	0,03	0,27	0,03	0,05	0,47	0,13	0,15	0,03	
29.03.2023	0,2				0,40							1), SDE
31.03.2023	2,1	11,9	5,35	0,09	1,02	0,07	0,16	2,12	0,49	0,25	0,05	
01.04.2023	6,8	4,7	5,26	0,03	0,30	0,03	0,05	0,60	0,16	0,06	0,01	
13.04.2023	3,4	7,9	5,33	0,94	0,21	0,03	0,85	0,81	0,14	0,22	0,02	
14.04.2023	16,6	3,0	5,21	0,03	0,20	0,03	0,05	0,41	0,05	0,08	0,02	SDE
20.04.2023	2,4	5,5	5,04	0,03	0,59	0,08	0,05	0,88	0,25	0,11	0,02	SDE
21.04.2023	2,6	6,8	5,31	0,03	0,70	0,08	0,05	0,85	0,26	0,12	0,03	SDE
22.04.2023	0,8				0,88							1), SDE
24.04.2023	12,0	16,6	5,37	0,08	1,38	0,30	0,13	1,59	0,82	0,49	0,09	SDE
25.04.2023	4,0	16,8	5,63	0,08	1,44	0,29	0,13	1,58	0,92	0,50	0,09	SDE
29.04.2023	0,5											2)
03.05.2023	1,7	9,6	5,22	0,03	1,09	0,07	0,05	1,17	0,73	0,11	0,03	SDE
06.05.2023	5,0	9,5	5,32	0,03	0,92	0,09	0,05	1,21	0,71	0,25	0,06	
07.05.2023	0,9				1,02		0,12	1,26	0,66			1)
08.05.2023	8,0	5,8	5,23	0,03	0,61	0,03	0,05	0,67	0,42	0,10	0,02	
09.05.2023	9,9	3,8	5,14	0,03	0,35	0,03	0,05	0,47	0,19	0,06	0,01	
10.05.2023	13,3	3,0	5,00	0,00	0,21	0,03	0,02	0,38	0,13	0,03	0,01	
11.05.2023	23,0	14,2	5,40	0,03	1,61	0,36	0,18	0,05	0,78	0,03	0,02	SDE
12.05.2023	8,0	11,1	5,53	0,06	1,20	0,39	0,17	0,21	0,42	0,06	0,05	SDE
13.05.2023	3,9	9,8	5,59	0,03	1,10	0,31	0,14	0,28	0,34	0,06	0,05	SDE
14.05.2023	2,5	4,3	5,56	0,03	0,48	0,09	0,05	0,43	0,12	0,05	0,03	SDE
15.05.2023	3,9	4,2	5,49	0,03	0,29	0,06	0,05	0,39	0,05	0,10	0,06	SDE
17.05.2023	2,1	19,3	5,53	0,12	1,02	0,77	0,49	0,52	1,32	1,23	0,16	SDE
22.05.2023	0,4				11,30							1), SDE
24.05.2023	0,8				4,37		0,42	2,01	2,56			1), SDE
25.05.2023	18,5	5,9	5,66	0,03	0,67	0,10	0,05	0,60	0,54	0,22	0,03	SDE
28.05.2023	1,8	10,6	5,42	0,16	0,84	0,06	0,05	1,77	1,22	0,31	0,07	
29.05.2023	3,2	7,1	5,36	0,10	0,56	0,07	0,05	0,97	0,74	0,16	0,05	
30.05.2023	0,6				0,86							1)
03.06.2023	0,8				0,75		0,05	1,16	0,90			1)
04.06.2023	5,9	11,6	6,59	0,16	1,03	0,09	0,16	1,33	0,79	0,36	0,07	SDE
05.06.2023	4,4	4,7	6,82	0,03	0,53	0,03	0,05	0,38	0,18	0,07	0,02	SDE

Innervillgraten 2023

Datum TT/MM/JJ	Vol. [mm]	Leitf. [µS/cm]	pH [-]	Na+	NH4+	K+	Cl- [mg/L]	NO3-	SO42-	Ca2+	Mg2+	Anmerkung
06.06.2023	2,7	6,3	6,20	0,03	0,60	0,06	0,05	0,54	0,30	0,07	0,02	SDE
07.06.2023	2,1	8,5	6,46	0,06	0,77	0,15	0,05	1,16	0,62	0,18	0,04	SDE
08.06.2023	5,9	9,6	6,37	0,03	0,82	0,15	0,05	1,27	0,70	0,19	0,05	SDE
11.06.2023	0,2											2), SDE
12.06.2023	0,2											2), SDE
13.06.2023	0,1											2), SDE
24.06.2023	5,0	6,8	6,19	0,07	0,04	0,12	0,14	0,62	0,58	0,74	0,11	SDE
01.07.2023	7,0	6,9	6,20	0,03	0,53	0,03	0,05	1,19	0,41	0,29	0,05	SDE
02.07.2023	2,4	3,9	6,51	0,03	0,40	0,03	0,05	0,05	0,05	0,12	0,02	
03.07.2023	0,6				1,31		0,16	2,18	0,53			1)
04.07.2023	13,4	4,5	6,39	0,03	0,50	0,05	0,05	0,74	0,24	0,06	0,01	
05.07.2023	15,5	4,3	6,60	0,03	0,44	0,03	0,05	0,70	0,16	0,05	0,01	SDE
06.07.2023	9,0	5,8	6,50	0,03	0,56	0,07	0,05	0,80	0,31	0,09	0,02	SDE
07.07.2023	9,7	7,2	6,57	0,03	0,84	0,06	0,05	0,83	0,30	0,06	0,01	SDE
09.07.2023	6,0	7,2	6,53	0,03	0,79	0,10	0,05	0,69	0,36	0,10	0,02	SDE
12.07.2023	19,1	13,3	6,54	0,10	1,20	0,42	0,30	0,78	0,65	0,38	0,03	SDE
13.07.2023	23,8	5,6	6,46	0,03	0,36	0,03	0,05	0,65	0,31	0,47	0,02	SDE
14.07.2023	8,8	8,5	6,42	0,06	0,74	0,08	0,10	0,61	0,39	0,46	0,02	
18.07.2023	3,2	13,3	6,37	0,12	1,20	0,03	0,13	1,78	0,95	0,53	0,07	
19.07.2023	25,0	7,1	6,36	0,07	0,45	0,08	0,11	0,74	0,55	0,36	0,04	SDE
20.07.2023	21,4	6,7	6,66	0,06	0,45	0,03	0,10	0,75	0,56	0,37	0,04	SDE
21.07.2023	9,2	6,2	5,37	0,03	0,14	0,03	0,05	1,07	0,29	0,20	0,03	SDE
22.07.2023	4,8	5,5	5,49	0,03	0,19	0,03	0,05	1,02	0,34	0,23	0,03	
23.07.2023	10,2	4,0	5,91	0,07	0,12	0,27	0,05	0,56	0,24	0,14	0,02	
25.07.2023	18,2	4,8	5,70	0,10	0,10	0,18	0,10	0,86	0,34	0,22	0,02	SDE
26.07.2023	26,0	5,6	5,60	0,06	0,11	0,03	0,11	0,90	0,34	0,23	0,02	
29.07.2023	15,7	4,9	5,56	0,03	0,11	0,03	0,05	0,56	0,29	0,10	0,02	
30.07.2023	12,2	4,0	5,26	0,03	0,01	0,03	0,05	0,41	0,22	0,10	0,02	
31.07.2023	17,8	3,5	5,65	0,01	0,17	0,15	0,05	0,40	0,20	0,08	0,03	
02.08.2023	9,1	4,3	5,79	0,03	0,34	0,13	0,05	0,40	0,21	0,09	0,03	
04.08.2023	8,5	4,6	6,13	0,03	0,26	0,09	0,05	0,51	0,24	0,09	0,03	
05.08.2023	14,9	4,7	5,75	0,03	0,28	0,03	0,05	0,74	0,30	0,10	0,02	SDE
06.08.2023	5,3	6,8	5,96	0,03	0,48	0,03	0,05	1,04	0,38	0,25	0,05	
10.08.2023	0,5				0,51							1)
14.08.2023	5,5	2,2	5,74	0,03	0,12	0,03	0,05	0,38	0,24	0,11	0,02	SDE
16.08.2023	12,1	3,8	5,41	0,03	0,06	0,03	0,05	0,36	0,23	0,11	0,02	SDE
17.08.2023	5,6	2,5	5,68	0,03	0,08	0,03	0,05	0,34	0,23	0,12	0,02	SDE
23.08.2023	0,2				0,09							1), SDE
24.08.2023	1,5			0,18	0,98	0,12	0,28	1,62	0,79	0,33	0,05	1), SDE
25.08.2023	0,6				0,73							1), SDE
26.08.2023	2,4			0,05	0,06	0,03	0,11	0,24	0,48	0,52	0,06	1)
27.08.2023	0,9			0,19	0,92	0,19	0,25	1,60	1,15	1,23	0,21	1)
28.08.2023	18,6	6,4	5,89	0,08	0,38	0,08	0,17	0,58	0,74	0,36	0,03	
29.08.2023	40,4	6,5	5,97	0,09	0,35	0,09	0,20	0,58	0,74	0,36	0,03	SDE
30.08.2023	1,6			0,03	0,07	0,03	0,05	0,18	0,05	0,19	0,02	SDE
31.08.2023	0,4				3,85							1), SDE
01.09.2023	0,1											2)
14.09.2023												2), SDE
19.09.2023	7,0	10,5	7,17	0,48	0,29	0,72	0,56	0,43	0,39	0,49	0,07	SDE
20.09.2023	0,7				0,62							1), SDE
21.09.2023	0,6											2), SDE
22.09.2023	2,3			0,18	1,87	0,06	0,25	1,08	0,48	0,49	0,05	SDE
23.09.2023	5,5	5,0	6,51	0,13	0,24	0,03	0,21	0,60	0,42	0,18	0,03	SDE
24.09.2023	7,9	4,7	6,43	0,13	0,20	0,03	0,22	0,60	0,48	0,19	0,03	SDE
15.10.2023	1,9			0,30	1,30	0,19	0,35	3,23	1,69	1,29	0,13	1)
20.10.2023	2,2	6,4	6,07	0,21	0,44	0,12	0,18	0,54	0,39	0,67	0,05	SDE

Innervillgraten 2023

Datum TT/MM/JJ	Vol. [mm]	Leitf. [µS/cm]	pH [-]	Na+	NH4+	K+	Cl- [mg/L]	NO3-	SO42-	Ca2+	Mg2+	Anmerkung
21.10.2023	15,0	6,5	6,28	0,10	0,40	0,03	0,18	0,54	0,38	0,58	0,05	SDE
22.10.2023	9,0	5,5	6,49	0,61	0,24	0,03	0,14	0,25	0,37	0,31	0,02	
25.10.2023	12,7	3,8	6,50	0,19	0,14	0,03	0,05	0,28	0,15	0,40	0,03	SDE
26.10.2023	5,5	3,5	6,44	0,14	0,14	0,03	0,05	0,25	0,13	0,34	0,02	
27.10.2023	14,9	2,0	6,33	0,03	0,18	0,03	0,05	0,19	0,05	0,07	0,01	
30.10.2023	0,8				0,22							1), SDE
31.10.2023	24,7	2,4	6,29	0,33	0,19	0,16	0,05	0,21	0,11	0,31	0,03	SDE
01.11.2023	22,8	2,4	6,30	0,03	0,20	0,03	0,11	0,21	0,11	0,15	0,01	
03.11.2023	15,6	2,0	5,65	0,06	0,10	0,03	0,05	0,11	0,05	0,06	0,01	
04.11.2023	22,4	2,5	5,72	0,20	0,06	0,03	0,05	0,11	0,14	0,03	0,01	
05.11.2023	11,9	2,0	5,60	0,07	0,06	0,03	0,05	0,11	0,05	0,03	0,01	
09.11.2023	2,0	9,8	6,00	0,83	0,13	0,05	0,12	0,59	1,12	0,03	0,01	
11.11.2023	0,7											2)
15.11.2023	2,4			0,03	0,22	0,03	0,05	0,34	0,05	0,03	0,01	1)
19.11.2023	0,3											SDE
25.11.2023	0,1											2)
30.11.2023	0,1											2)
01.12.2023	2,4	10,8	6,27	1,66	0,25	0,08	0,05	0,69	0,97	0,13	0,02	
02.12.2023	21,7	2,0	5,57	0,01	0,09	0,03	0,05	0,16	0,05	0,03	0,01	SDE
03.12.2023	10,8	1,9	5,63	0,01	0,08	0,03	0,05	0,14	0,05	0,06	0,01	SDE
09.12.2023	0,1											2)
10.12.2023	1,0			0,53	0,24	0,27	0,05	0,22	0,34	0,13	0,03	1)
12.12.2023	0,8				0,31		0,13	0,31	0,52			1)
13.12.2023	10,8	2,1	5,40	0,08	0,08	0,03	0,05	0,14	0,05	0,03	0,01	
14.12.2023	7,0	2,5	5,75	0,03	0,24	0,03	0,05	0,13	0,05	0,03	0,01	
22.12.2023	13,6	2,3	5,32	0,03	0,08	0,03	0,05	0,19	0,11	0,07	0,01	
23.12.2023	3,0	2,4	5,71	0,03	0,10	0,03	0,05	0,21	0,05	0,07	0,01	

1) Geringe Probenmenge → nicht alle Analysen möglich

2) Zu wenig Probe → keine Analysen möglich

3) eventuelle Kontamination → mit * markierte Werte wurde bei der Auswertung ausgeschlossen
SDE ... Mineralstaubeignis

Höfen 2023

Datum TT/MM/JJ	Vol. [mm]	Leitf. [µS/cm]	pH [-]	Na+	NH4+	K+	Cl- [mg/L]	NO3-	SO42-	Ca2+	Mg2+	Anmerkung
09.01.2023	9,0	4,8	5,84	0,17	0,16	0,05	0,22	0,58	0,21	0,40	0,08	
10.01.2023	1,5	7,5	6,06	0,17	0,16	0,05	0,22	0,58	0,22	0,44	0,08	
11.01.2023	4,4	22,2	6,82	0,25	0,12	0,07	0,41	0,82	2,29	2,96	0,75	
13.01.2023	10,6	5,1	6,36	0,19	0,21	0,03	0,33	0,41	0,15	0,40	0,06	
15.01.2023	0,5				0,39							1)
17.01.2023	0,3				0,49							1)
18.01.2023	0,2											2)
20.01.2023	4,6	32,1	6,94	0,44	0,24	0,09	0,71	3,07	3,23	4,14	1,03	
21.01.2023	0,4				0,83							1)
30.01.2023	3,6	133,0*	6,31*	1,52*	0,23*	0,25*	2,36*	3,15*	22,10*	13,50*	6,66*	3)
01.02.2023	1,4			2,12*	0,44*	0,20*	3,75*	4,39*	2,73*	10,10*	0,74*	1), 3)
02.02.2023	5,3	51,8*	6,47*	0,54*	0,14*	0,12*	0,91*	1,42*	2,57*	7,50*	0,81*	3)
03.02.2023	19,1	11,6	6,66	0,06	0,11	0,03	0,11	0,56	0,41	1,59	0,13	
05.02.2023	0,4				0,40							1)
24.02.2023	36,4	20,5	6,46	0,13	0,26	0,06	0,20	0,74	1,29	2,37	0,54	
25.02.2023	8,3	9,1	6,53	0,16	0,59	0,05	0,30	1,27	0,35	0,41	0,07	
26.02.2023	0,6				0,59							1), SDE
08.03.2023	8,3	17,4	6,56	0,31	0,35	0,03	0,53	0,90	0,31	1,39	0,29	
09.03.2023	9,3	3,4	7,11	0,03	0,08	0,03	0,05	0,10	0,05	0,24	0,05	
10.03.2023	10,9			0,22	0,33	0,10	0,37	0,58	0,05	0,91	0,48	1)
11.03.2023	3,7	6,3	6,61	0,21	0,36	0,03	0,18	0,87	0,19	0,27	0,08	
12.03.2023	2,8	6,4	6,37	0,26	0,16	0,03	0,29	0,53	0,20	0,34	0,14	
13.03.2023	10,9	4,3	6,19	0,03	0,31	0,03	0,05	0,47	0,12	0,16	0,04	
14.03.2023	15,6	4,2	5,99	0,08	0,16	0,03	0,05	0,36	0,11	0,11	0,03	
19.03.2023	4,5	16,4	5,60	0,20	1,81	0,05	0,24	2,20	0,38	0,68	0,15	SDE
21.03.2023	3,0	6,2	5,73	0,03	1,29	0,03	0,05	0,25	0,05	0,53	0,16	
21.03.2023	2,9	3,9	5,77	0,10	0,04	0,09	0,18	0,05	0,05	0,25	0,08	
24.03.2023	16,3	5,7	5,28	0,08	0,38	0,03	0,13	0,61	0,24	0,27	0,05	
25.03.2023	2,8	5,2	5,45	0,15	0,23	0,03	0,25	0,26	0,18	0,30	0,11	
26.03.2023	14,0	3,7	5,35	0,07	0,18	0,03	0,10	0,38	0,12	0,20	0,06	
27.03.2023	8,4	5,9	4,66	0,20	0,31	0,03	0,33	1,10	0,29	0,18	0,05	
28.03.2023	3,4	10,9	5,17	0,22	0,59	0,06	0,26	1,10	0,69	0,65	0,16	
29.03.2023	2,9	10,9	5,18	0,18	0,53	0,06	0,27	0,98	0,70	0,83	0,12	SDE
30.03.2023	11,6	7,9	5,34	0,12	0,42	0,05	0,19	0,67	0,46	0,56	0,07	SDE
31.03.2023	14,2	8,7	5,21	0,27	0,62	0,08	0,46	0,83	0,56	0,27	0,07	
01.04.2023	1,4			0,17	0,29	0,15	0,25	0,42	0,25	0,32	0,11	1)
07.04.2023	10,0	8,0	5,24	0,10	0,54	0,03	0,10	1,02	0,19	0,40	0,12	SDE
08.04.2023	5,2	13,0	5,44	0,03	1,16	0,03	0,05	1,98	0,49	0,48	0,14	SDE
11.04.2023	13,9	4,9	5,62	0,03	0,35	0,03	0,05	0,56	0,32	0,22	0,06	
12.04.2023	18,8	4,5	5,41	0,03	0,36	0,03	0,05	0,72	0,18	0,16	0,05	
13.04.2023	10,2	3,8	5,22	0,11	0,22	0,03	0,16	0,68	0,12	0,09	0,03	SDE
14.04.2023	4,2	12,6	4,91	0,58	0,63	0,03	0,98	2,39	0,68	0,36	0,17	SDE
15.04.2023	8,6	7,0	5,18	0,15	0,57	0,03	0,16	1,66	0,34	0,14	0,05	SDE
16.04.2023	9,5	4,4	4,80	0,03	0,15	0,03	0,05	0,83	0,13	0,09	0,02	SDE
19.04.2023	5,7	10,0	5,03	0,03	0,82	0,03	0,05	1,96	0,50	0,40	0,12	SDE
23.04.2023	6,9	10,2	5,39	0,10	0,68	0,03	0,10	1,40	0,59	0,50	0,12	SDE
24.04.2023	2,3	15,8	5,52	0,43	1,23	0,09	0,67	2,38	1,26	0,31	0,08	SDE
25.04.2023	8,8	5,1	5,46	0,10	0,39	0,03	0,14	0,77	0,33	0,17	0,05	
26.04.2023	0,7				1,17		0,22	2,63	0,92			1)
28.04.2023	42,5	2,4	5,34	0,03	0,12	0,03	0,05	0,29	0,12	0,10	0,02	
01.05.2023	11,6	3,1	5,08	0,03	0,21	0,03	0,05	0,41	0,14	0,11	0,03	SDE
02.05.2023	2,7	14,9	5,04	0,08	1,48	0,05	0,05	3,06	1,51	0,22	0,06	SDE
05.05.2023	9,5	6,7	5,50	0,03	0,59	0,03	0,05	0,81	0,38	0,29	0,05	
07.05.2023	9,7	5,9	5,35	0,03	0,49	0,03	0,05	0,88	0,32	0,24	0,05	

Höfen 2023

Datum TT/MM/JJ	Vol. [mm]	Leitf. [µS/cm]	pH [-]	Na+	NH4+	K+	Cl- [mg/L]	NO3-	SO42-	Ca2+	Mg2+	Anmerkung
08.05.2023	3,5	4,6	5,47	0,03	0,29	0,03	0,05	0,42	0,17	0,27	0,10	
09.05.2023	13,0	2,8	5,45	0,03	0,16	0,03	0,05	0,38	0,05	0,11	0,04	
10.05.2023	15,5	2,7	5,36	0,03	0,15	0,01	0,05	0,38	0,05	0,11	0,04	SDE
11.05.2023	1,4			0,03	0,10	0,03	0,05	0,41	0,05	0,21	0,09	1), SDE
13.05.2023	4,8	6,1	5,05	0,03	0,54	0,03	0,05	1,35	0,44	0,14	0,04	SDE
14.05.2023	5,4	6,2	5,23	0,03	0,54	0,03	0,05	1,37	0,45	0,15	0,05	SDE
15.05.2023	2,1	10,0	5,13	0,03	0,93	0,06	0,05	2,08	1,12	0,24	0,06	SDE
16.05.2023	18,6	7,2	5,18	0,03	0,64	0,03	0,05	1,28	0,75	0,13	0,03	SDE
23.05.2023	11,6	15,0	5,49	0,06	1,49	0,06	0,05	2,02	1,23	0,33	0,06	SDE
24.05.2023	4,7	6,4	5,57	0,03	0,67	0,03	0,05	0,79	0,40	0,15	0,04	SDE
01.06.2023	15,9	15,3	5,50	0,08	1,23	0,13	0,05	1,77	0,96	0,77	0,10	
10.06.2023	3,2	29,6	5,97	0,10	1,17	0,29	0,16	2,96	1,28	2,50	0,74	SDE
16.06.2023	5,1	28,4	7,41	0,08	1,76	0,22	0,20	2,42	1,30	2,13	0,31	SDE
19.06.2023	2,1	19,7	7,02	0,03	0,68	0,14	0,13	1,97	0,76	1,97	0,44	SDE
22.06.2023	7,9	29,1	7,01	0,25	0,15	0,12	0,49	1,58	1,80	4,64	0,24	SDE
23.06.2023	3,2	9,0	7,01	0,03	0,41	0,03	0,05	0,75	0,35	0,73	0,16	SDE
26.06.2023	0,6				2,69		0,56	4,61	1,94			1)
29.06.2023	6,7	11,2	6,66	0,12	0,67	0,06	0,13	1,71	0,48	0,89	0,13	
30.06.2023	9,6	7,9	6,74	0,03	0,66	0,03	0,05	0,81	0,23	0,37	0,08	SDE
01.07.2023	1,6			0,03	0,52	0,03	0,05	0,61	0,17	0,33	0,10	1)
02.07.2023	1,0			0,03	0,06	0,03	0,05	0,34	0,05	0,44	0,16	1)
03.07.2023	2,3	15,3	6,67	0,48	1,12	0,06	0,64	1,94	0,62	0,47	0,12	
04.07.2023	2,6	12,6	6,79	0,18	0,95	0,05	0,22	1,46	0,49	0,49	0,13	SDE
05.07.2023	10,6	5,7	6,54	0,03	0,39	0,03	0,05	0,76	0,29	0,27	0,06	SDE
11.07.2023	26,5	7,6	6,51	0,07	0,36	0,06	0,05	0,96	0,39	0,57	0,08	SDE
13.07.2023	5,6	9,8	6,66	0,10	0,10	0,03	0,05	0,73	0,68	1,07	0,29	
16.07.2023	12,2	5,4	6,50	0,03	0,35	0,03	0,05	0,57	0,31	0,24	0,05	SDE
18.07.2023	33,9	14,3	6,56	0,26	0,58	0,06	0,34	1,40	0,99	1,39	0,11	SDE
19.07.2023	10,1	12,7	6,71	0,18	0,82	0,07	0,16	1,27	0,59	0,80	0,11	SDE
21.07.2023	9,2	8,8	6,65	0,08	0,44	0,03	0,12	1,33	0,31	0,65	0,13	
24.07.2023	23,9	4,4	6,16	0,03	0,24	0,03	0,05	0,61	0,23	0,24	0,04	SDE
25.07.2023	37,0	2,9	6,11	0,03	0,15	0,03	0,05	0,19	0,05	0,11	0,03	
26.07.2023	4,5	20,8	7,01	0,73	0,41	0,09	0,27	1,00	1,32	2,00	0,44	
28.07.2023	8,1	10,9	6,09	0,07	0,98	0,03	0,13	0,76	0,62	0,76	0,19	
30.07.2023	20,0	4,0	6,08	0,03	0,24	0,03	0,05	0,62	0,19	0,20	0,04	
01.08.2023	4,5	7,6	6,19	0,06	0,65	0,03	0,11	1,38	0,44	0,22	0,05	
02.08.2023	3,7	10,5	6,29	0,14	0,95	0,06	0,20	1,42	0,67	0,25	0,05	
03.08.2023	27,9	4,0	6,13	0,05	0,32	0,03	0,05	0,42	0,17	0,12	0,02	
04.08.2023	18,5	3,2	5,93	0,03	0,23	0,03	0,05	0,47	0,05	0,10	0,03	SDE
13.08.2023	9,6	10,3	6,13	0,28	0,38	0,21	0,41	0,82	0,42	0,68	0,10	SDE
15.08.2023	1,0			0,27	1,32	0,08	0,36	3,78	1,06	1,72	0,30	1), SDE
17.08.2023	3,5	16,5	6,55	0,13	1,11	0,03	0,21	2,52	0,66	0,98	0,15	SDE
24.08.2023	10,0	17,8	6,37	0,11	1,01	0,07	0,18	2,16	0,95	1,36	0,12	SDE
25.08.2023	23,4	6,1	6,32	0,03	0,51	0,03	0,05	0,64	0,32	0,26	0,04	
26.08.2023	23,3			0,03	0,31	0,03	0,05	0,39	0,24	0,19	0,05	1)
27.08.2023	27,1	2,2	5,95	0,03	0,10	0,03	0,05	0,19	0,05	0,09	0,02	
28.08.2023	25,6	2,0	5,79	0,03	0,07	0,10	0,05	0,16	0,05	0,06	0,01	SDE
29.08.2023	5,5	4,1	5,66	0,07	0,23	0,03	0,05	0,68	0,21	0,15	0,04	SDE
12.09.2023	13,6	7,9	6,27	0,03	0,45	0,03	0,05	0,74	0,31	0,61	0,09	SDE
13.09.2023	14,1	6,7	6,24	0,11	0,45	0,03	0,05	1,05	0,36	0,30	0,07	SDE
14.09.2023	0,9				0,06		0,05	0,58	0,05			1), SDE
18.09.2023	6,1	9,1	6,33	0,07	0,04	0,03	0,10	0,91	0,54	1,27	0,14	SDE
21.09.2023	9,9	3,4	6,31	0,03	0,09	0,03	0,05	0,33	0,13	0,22	0,04	SDE
22.09.2023	25,9	1,5	6,35	0,03	0,01	0,03	0,05	0,03	0,05	0,08	0,02	SDE
03.10.2023	10,2	7,8	6,25	0,06	0,50	0,03	0,05	0,74	0,42	0,49	0,07	SDE

Höfen 2023

Datum TT/MM/JJ	Vol. [mm]	Leitf. [µS/cm]	pH [-]	Na+	NH4+	K+	Cl- [mg/L]	NO3-	SO42-	Ca2+	Mg2+	Anmerkung
14.10.2023	5,0	9,8	7,26	0,05	0,02	0,01	0,12	0,03	0,29	0,89	0,17	
21.10.2023	9,9	11,7	7,10	0,17	0,14	0,25	0,23	0,14	0,24	0,78	0,20	
24.10.2023	3,9	9,6	6,81	0,13	0,12	0,06	0,05	0,69	0,21	0,54	0,10	SDE
27.10.2023	14,3	5,6	7,09	0,15	0,18	0,03	0,05	0,43	0,22	0,23	0,06	
30.10.2023	18,5	2,3	6,61	0,03	0,19	0,01	0,05	0,22	0,05	0,08	0,02	SDE
31.10.2023	6,0	2,6	6,52		0,20		0,05	0,30	0,05			1)
02.11.2023	17,7	2,5	6,97	0,03	0,08	0,03	0,05	0,24	0,05	0,14	0,02	
05.11.2023	10,7	2,7	6,27	0,06	0,11	0,03	0,10	0,27	0,05	0,12	0,02	
07.11.2023	9,6	2,6	6,09	0,03	0,20	0,03	0,05	0,21	0,10	0,10	0,01	
10.11.2023	2,5	7,0	5,49	0,11	0,48	0,03	0,17	0,98	0,25	0,41	0,12	
12.11.2023	32,3	2,4	5,71	0,03	0,08	0,03	0,05	0,14	0,05	0,10	0,03	
13.11.2023	32,9	2,3	5,60	0,01	0,08	0,03	0,05	0,16	0,10	0,07	0,01	
15.11.2023	17,9	2,9	5,52	0,08	0,13	0,03	0,14	0,21	0,14	0,08	0,02	
16.11.2023	7,2	3,7	5,42	0,01	0,08	0,03	0,05	0,45	0,05	0,11	0,01	
17.11.2023	6,7	3,4	5,30	0,03	0,08	0,03	0,05	0,45	0,05	0,08	0,01	
19.11.2023	20,2	2,6	5,44	0,03	0,10	0,03	0,05	0,22	0,10	0,06	0,01	
21.11.2023	5,7	6,7	5,68	0,08	0,57	0,03	0,15	1,46	0,24	0,18	0,02	
24.11.2023	56,6	6,3	6,07	0,14	0,21	0,03	0,24	0,62	0,39	0,47	0,12	
30.11.2023	9,6	2,0	5,88	0,01	0,06	0,03	0,05	0,16	0,05	0,11	0,02	
01.12.2023	54,9	1,9	5,90	0,03	0,04	0,03	0,05	0,02	0,05	0,10	0,02	SDE
06.12.2023	4,1	27,5	6,34	0,18	0,23	0,14	0,28	1,79	2,03	2,97	0,81	
08.12.2023	2,0	69,9	6,99	0,52	0,09	0,21	0,70	1,18	8,74			1)
09.12.2023	6,2	8,4	6,85	0,25	0,06	0,03	0,21	0,21	0,33	0,76	0,11	
10.12.2023	22,0	7,5	6,82	0,26	0,06	0,06	0,22	0,21	0,32	0,76	0,11	
11.12.2023	22,9	1,9	6,38	0,03	0,05	0,03	0,05	0,05	0,05	0,09	0,02	
12.12.2023	8,4	2,9	6,33	0,03	0,05	0,03	0,05	0,31	0,05	0,17	0,05	
13.12.2023	3,9	3,3	6,11	0,03	0,13	0,03	0,05	0,54	0,05	0,19	0,04	
14.12.2023	9,5	7,6	4,96	0,03	0,19	0,03	0,05	1,44	0,20	0,19	0,03	SDE
21.12.2023	29,5	7,3	5,84	0,28	0,21	0,03	0,43	0,67	0,41	0,42	0,11	
22.12.2023	35,0	2,1	5,89	0,01	0,07	0,03	0,05	0,17	0,05	0,12	0,03	
23.12.2023	1,3			0,06	0,19	0,05	0,14	0,47	0,20	0,26	0,07	1), SDE

- 1) Geringe Probenmenge → nicht alle Analysen möglich
- 2) Zu wenig Probe → keine Analysen möglich
- 3) eventuelle Kontamination → mit * marierte Werte wurde bei der Auswertung ausgeschlossen
SDE ... Mineralstaubeignis

Niederndorferberg 2023

Datum TT/MM/JJ	Vol. [mm]	Leitf. [µS/cm]	pH [-]	Na+	NH4+	K+	Cl- [mg/L]	NO3-	SO42-	Ca2+	Mg2+	Anmerkung
04.01.2023	1,9	9,9	5,85	0,09	0,74	0,11	0,19	2,12	0,45	0,51	0,11	SDE
05.01.2023	1,0			0,06	0,44	0,09	0,16	0,86	0,17	0,40	0,09	1)
10.01.2023	2,6	3,5	5,55	0,03	0,06	0,06	0,05	0,56	0,05	0,21	0,05	
11.01.2023	2,4	6,9	5,52	0,12	0,35	0,10	0,23	1,76	0,24	0,29	0,06	
12.01.2023	3,6	4,8	5,66	0,09	0,18	0,03	0,19	0,78	0,05	0,20	0,05	
14.01.2023	3,5	3,9	5,76	0,14	0,20	0,12	0,23	0,44	0,05	0,11	0,03	
18.01.2023	1,4			0,52	0,56	0,15	0,77	3,82	0,27	0,80	0,18	1)
21.01.2023	11,8	3,9	5,02	0,24	0,66	0,07	0,47	3,22	0,42	0,27	0,06	
23.01.2023	2,2	13,1	5,08	0,16	0,82	0,08	0,34	3,16	0,94	0,31	0,06	
02.02.2023	3,3	16,6	5,65	0,78	1,13	0,19	1,29	3,90	1,05	0,45	0,12	
03.02.2023	4,6	6,2	5,60	0,22	0,46	0,06	0,35	1,10	0,23	0,13	0,04	
04.02.2023	1,5	12,4	5,62	0,78	0,65	0,12	1,41	2,09	0,54	0,23	0,09	
20.02.2023	4,3	12,2	5,31	0,36	1,05	0,09	0,57	1,39	0,42	0,17	0,05	
25.02.2023	24,1	3,6	5,49	0,03	0,24	0,03	0,05	0,46	0,12	0,09	0,02	
26.02.2023	11,5			0,13	0,43	0,03	0,25	0,93	0,24	0,12	0,03	1)
10.03.2023	3,2	7,6	5,20	0,20	0,40	0,07	0,32	1,22	0,25	0,32	0,07	
11.03.2023	2,9	10,3	5,24	0,31	0,81	0,08	0,54	1,54	0,35	0,21	0,05	
13.03.2023	3,8	6,6	5,17	0,20	0,43	0,03	0,34	1,14	0,20	0,20	0,05	
14.03.2023	8,8	3,6	5,07	0,03	0,22	0,03	0,05	0,45	0,05	0,11	0,02	
15.03.2023	17,9	2,9	6,37	0,03	0,12	0,03	0,05	0,28	0,05	0,15	0,01	
16.03.2023	1,8	11,4	6,18	0,51	0,73	0,07	0,82	2,18	0,47	0,24	0,07	
20.03.2023	5,2	11,7	5,86	0,15	1,15	0,07	0,20	2,21	0,47	0,20	0,04	SDE
25.03.2023	12,0	6,3	5,95	0,03	0,63	0,03	0,05	1,05	0,22	0,12	0,02	
28.03.2023	20,5	8,5	5,69	0,19	0,73	0,14	0,42	0,68	0,46	0,13	0,04	
30.03.2023	3,1	16,6	5,42	0,36	0,81	0,10	0,59	1,83	0,92	1,00	0,12	SDE
31.03.2023	15,3	9,7	5,61	0,09	0,65	0,08	0,15	0,64	0,46	0,57	0,05	
01.04.2023	1,8			0,25	1,07	0,12	0,48	1,60	0,71	0,39	0,06	1)
03.04.2023	14,2	3,8	5,83	0,03	0,23	0,03	0,05	0,47	0,11	0,11	0,02	
09.04.2023	9,0	20,6	5,73	0,13	2,14	0,43	0,25	2,55	1,21	0,29	0,05	SDE
13.04.2023	9,3	7,1	5,85	0,03	0,60	0,08	0,05	1,06	0,30	0,15	0,04	
14.04.2023	16,9	9,1	5,66	0,18	0,63	0,24	0,30	0,76	0,39	0,30	0,04	SDE
15.04.2023	19,2	7,8	5,45	0,13	0,55	0,03	0,18	1,51	0,34	0,30	0,03	SDE
16.04.2023	6,9	14,4	5,42	0,22	1,28	0,03	0,28	3,33	0,85	0,38	0,05	SDE
20.04.2023	6,5	7,9	5,42	0,03	0,49	0,03	0,05	1,80	0,62	0,41	0,04	SDE
24.04.2023	17,7	6,7	5,28	0,06	0,63	0,06	0,05	0,90	0,55	0,14	0,02	SDE
25.04.2023	3,0	7,8	5,37	0,20	0,61	0,07	0,33	0,98	0,57	0,17	0,04	SDE
26.04.2023	7,5	6,1	5,23	0,09	0,40	0,03	0,15	1,32	0,38	0,14	0,03	
29.04.2023	30,8	2,9	5,06	0,03	0,12	0,03	0,05	0,37	0,14	0,05	0,01	
30.04.2023	12,5	5,3	5,16	0,03	0,51	0,03	0,05	0,96	0,37	0,10	0,01	
01.05.2023	13,2	4,7	5,04	0,01	0,33	0,03	0,05	0,77	0,41	0,08	0,01	
03.05.2023	6,6	10,9	4,96	0,06	1,08	0,03	0,05	2,26	1,09	0,12	0,02	SDE
06.05.2023	11,6	7,9	6,38	0,06	0,07	0,07	0,05	0,97	0,41	0,11	0,02	
07.05.2023	1,0				0,09		0,30	1,50	0,71			1)
10.05.2023	7,6	3,7	6,12	0,03	0,31	0,03	0,05	0,64	0,13	0,13	0,02	
11.05.2023	21,9	11,3	5,81	0,15	0,59	0,26	0,17	0,38	0,24	1,10	0,07	SDE
12.05.2023	6,9	6,2	5,77	0,03	0,14	0,03	0,05	0,33	0,05	0,97	0,03	SDE
14.05.2023	4,0	5,6	5,52	0,03	0,29	0,03	0,05	0,76	0,27	0,61	0,02	SDE
15.05.2023	17,9	4,4	5,20	0,03	0,34	0,03	0,05	0,77	0,43	0,19	0,01	SDE
16.05.2023	26,6	4,8	5,11	0,03	0,48	0,03	0,05	0,71	0,47	0,10	0,01	SDE
17.05.2023	20,9	5,4	5,37	0,03	0,47	0,03	0,05	0,84	0,60	0,19	0,01	SDE
18.05.2023	1,5			0,55	1,65	0,08	0,94	3,64	1,75	0,39	0,06	1), SDE
23.05.2023	20,8	11,2	5,22	0,08	1,13	0,08	0,05	1,45	1,09	0,31	0,04	SDE
25.05.2023	7,0	8,0	5,47	0,03	0,98	0,03	0,05	1,04	0,40	0,16	0,01	SDE
06.06.2023	3,7	7,1	6,22	0,03	0,54	0,03	0,05	1,00	0,39	0,29	0,04	SDE
11.06.2023	1,9	10,5	6,33	0,07	0,82	0,12	0,16	1,27	0,71	0,43	0,07	SDE
17.06.2023	10,9	21,7	6,53	0,06	1,56	0,11	0,12	1,94	1,22	1,48	0,13	SDE

Niederndorferberg 2023

Datum TT/MM/JJ	Vol. [mm]	Leitf. [µS/cm]	pH [-]	Na+	NH4+	K+	Cl- [mg/L]	NO3-	SO42-	Ca2+	Mg2+	Anmerkung
24.06.2023	14,3	12,1	6,60	0,06	0,58	0,06	0,13	0,96	0,80	1,26	0,08	SDE
28.06.2023	5,5	22,2	6,60	0,45	1,57	0,06	0,45	3,28	1,14	1,05	0,13	
01.07.2023	33,2	6,7	6,53	0,03	0,74	0,03	0,05	0,76	0,35	0,10	0,01	SDE
02.07.2023	6,9	4,9	6,52	0,03	0,57	0,03	0,05	0,48	0,27	0,10	0,01	
05.07.2023	4,3	6,8	6,31	0,08	0,63	0,03	0,12	1,00	0,41	0,21	0,03	SDE
06.07.2023	4,6	4,3	6,20	0,03	0,35	0,03	0,05	0,73	0,24	0,16	0,02	SDE
13.07.2023	14,2	7,8	6,22	0,03	0,42	0,05	0,05	0,99	0,35	0,59	0,08	SDE
14.07.2023	4,6	3,5	5,79	0,03	0,22	0,03	0,05	0,48	0,05	0,11	0,02	
18.07.2023	1,1			0,16	0,97	0,13	0,22	2,55	1,08	0,87	0,24	1)
19.07.2023	31,2	10,0	6,22	0,17	0,64	0,13	0,19	1,00	0,61	0,61	0,05	SDE
20.07.2023	3,6	24,6	6,70	0,32	1,11	1,91	0,37	2,47	0,85	1,15	0,20	SDE
22.07.2023	8,8	6,8	6,20	0,03	0,44	0,12	0,05	1,01	0,27	0,32	0,04	
25.07.2023	32,1	3,6	6,16	0,03	0,22	0,03	0,05	0,45	0,17	0,12	0,02	SDE
26.07.2023	11,8	8,0	6,26	0,11	0,64	0,13	0,17	0,78	0,38	0,16	0,03	
27.07.2023	19,1	4,5	6,17	0,06	0,30	0,03	0,12	0,60	0,33	0,06	0,01	
29.07.2023	5,5	6,6	6,21	0,03	0,58	0,03	0,05	0,96	0,24	0,18	0,03	
30.07.2023	14,8	4,6	6,30	0,03	0,38	0,03	0,05	0,61	0,20	0,08	0,01	
01.08.2023	7,1	42,4	6,32	6,11	0,74	0,17	7,34	2,30	2,08	0,38	0,06	
02.08.2023	13,5	5,6	6,24	0,21	0,39	0,03	0,22	0,85	0,27	0,06	0,01	
03.08.2023	22,0	7,3	7,10	0,14	0,71	0,17	0,23	0,38	0,40	0,15	0,04	
04.08.2023	7,9	10,1	6,76	0,31	0,81	0,03	0,45	1,18	0,57	0,22	0,05	
05.08.2023	18,8	4,8	6,69		0,24		0,11	0,80	0,24			1), SDE
06.08.2023	25,7	4,8	5,96	0,07	0,20	0,03	0,05	0,66	0,28	0,08	0,01	
07.08.2023	4,6	5,4	5,76	0,25	0,22	0,03	0,31	0,74	0,32	0,17	0,02	
10.08.2023	17,1	7,0	5,92	0,12	0,59	0,03	0,11	1,11	0,38	0,17	0,02	
14.08.2023	2,9	11,4	5,88	0,37	0,61	0,08	0,47	2,23	0,64	0,40	0,05	SDE
16.08.2023	19,4	4,9	6,07	0,03	0,42	0,03	0,05	0,62	0,23	0,13	0,02	SDE
24.08.2023	6,6	16,0	6,26	0,11	1,40	0,09	0,15	1,85	0,69	0,76	0,08	SDE
25.08.2023	10,9	15,0	6,34	0,11	0,81	0,07	0,20	1,60	0,84	1,27	0,08	SDE
26.08.2023	11,4	14,6	6,42	0,07	1,10	0,05	0,12	1,90	0,84	0,50	0,05	
28.08.2023	32,4	4,4	6,33	0,03	0,31	0,03	0,05	0,40	0,32	0,18	0,02	
29.08.2023	29,5	2,7	5,94	0,03	0,10	0,03	0,05	0,30	0,15	0,11	0,01	SDE
30.08.2023	21,5	4,3	5,43	0,03	0,13	0,03	0,05	0,55	0,19	0,09	0,01	SDE
31.08.2023	8,6	5,4	5,83	0,09	0,44	0,03	0,05	0,88	0,36	0,09	0,01	SDE
14.09.2023	32,5	5,4	6,49	0,05	0,56	0,03	0,05	0,77	0,44	0,17	0,02	SDE
19.09.2023	9,0	6,0	6,48	0,03	0,40	0,03	0,10	0,72	0,42	0,47	0,03	SDE
23.09.2023	17,6	3,2	6,41	0,03	0,21	0,03	0,05	0,49	0,28	0,08	0,01	SDE
24.09.2023	1,7				0,11		0,05	0,33	0,19			1), SDE
30.09.2023	6,1	13,3	6,27	0,18	1,45	0,06	0,14	1,79	0,75	0,36	0,03	
04.10.2023	1,8			0,16	0,47	0,10	0,22	1,26	0,34	0,52	0,05	1), SDE
15.10.2023	2,6	9,4	6,33	0,24	0,38	0,10	0,30	0,97	0,66	0,88	0,08	
16.10.2023	2,0	4,5	6,44	0,14	0,30	0,05	0,23	0,56	0,19	0,22	0,03	
22.10.2023	3,3	8,9	6,29	0,10	1,03	0,07	0,14	0,97	0,30	0,18	0,02	
25.10.2023	3,5	6,7	6,53	0,05	0,51	0,03	0,13	1,23	0,20	0,50	0,04	SDE
27.10.2023	12,9	2,8	6,58	0,03	0,23	0,03	0,05	0,42	0,05	0,10	0,01	
28.10.2023	2,3	3,2	6,25	0,05	0,23	0,03	0,12	0,46	0,05	0,16	0,01	
31.10.2023	13,5	2,2	6,20	0,03	0,18	0,03	0,05	0,22	0,05	0,11	0,01	SDE
01.11.2023	4,7	3,7	6,04	0,12	0,21	0,03	0,22	0,53	0,11	0,13	0,01	
03.11.2023	31,3	2,6	5,84	0,07	0,15	0,03	0,14	0,27	0,05	0,08	0,01	
04.11.2023	14,7	6,4	5,35	0,30	0,13	0,03	0,53	0,45	0,22		0,03	1)
05.11.2023	1,0			0,06	0,29	0,03	0,12	0,86	0,05	0,11	0,01	1)
08.11.2023	2,4	10,2	5,91	0,10	0,89	0,03	0,22	1,01	0,24	0,15	0,01	
11.11.2023	3,6	7,9	6,15	0,03	0,90	0,03	0,10	1,05	0,18	0,07	0,01	
13.11.2023	15,4	3,1	5,93	0,03	0,21	0,03	0,11	0,34	0,14	0,06	0,01	
14.11.2023	15,2	2,4	5,76	0,03	0,16	0,03	0,05	0,19	0,05	0,03	0,01	
15.11.2023	10,5	5,7	6,27	0,12	0,09	0,43	0,05	0,16	0,05	0,06	0,01	

Niederndorferberg 2023

Datum TT/MM/JJ	Vol. [mm]	Leitf. [µS/cm]	pH [-]	Na+	NH4+	K+	Cl- [mg/L]	NO3-	SO42-	Ca2+	Mg2+	Anmerkung
16.11.2023	0,6				0,40		0,61	0,74	0,32			1)
17.11.2023	15,9	2,7	5,91	0,03	0,15	0,03	0,05	0,40	0,05	0,07	0,01	
18.11.2023	13,3	7,3	5,07	0,03	0,20	0,03	0,05	1,01	0,32	0,17	0,01	
19.11.2023	12,6	2,6	5,30	0,03	0,20	0,03	0,05	0,34	0,05	0,03	0,01	SDE
20.11.2023	3,8	3,7	5,51	0,03	0,26	0,03	0,11	0,47	0,19	0,10	0,01	
22.11.2023	18,2	4,9	5,46	0,03	0,35	0,06	0,10	1,11	0,28	0,14	0,01	
25.11.2023	31,8	5,3	5,65	0,30	0,34	0,03	0,35	0,61	0,39	0,19	0,02	
29.11.2023	7,7	10,2	4,98	0,09	0,42	0,05	0,16	1,96	0,42	0,13	0,02	SDE
01.12.2023	18,1	3,4	5,30	0,03	0,21	0,03	0,05	0,54	0,05	0,15	0,01	
02.12.2023	14,7	2,6	5,58	0,03	0,18	0,06	0,05	0,31	0,05	0,03	0,00	SDE
03.12.2023	3,1	7,1	5,44	0,20	0,38	0,06	0,05	1,39	0,43	0,07	0,01	SDE
07.12.2023	4,3	12,0	6,04	0,46	0,34	1,92	0,19	1,93	0,41	0,10	0,02	
09.12.2023	5,1	6,4	5,49	0,08	0,20	0,05	0,15	1,12	0,15	0,07	0,01	
10.12.2023	4,0	4,4	5,39	0,14	0,14	0,11	0,25	0,50	0,11	0,06	0,01	
11.12.2023	8,2	3,8	5,35	0,08	0,06	0,06	0,18	0,22	0,05	0,07	0,01	
12.12.2023	5,0	2,6	5,36	0,03	0,05	0,03	0,05	0,17	0,05	0,03	0,01	
13.12.2023	14,2	3,5	5,35	0,03	0,09	0,03	0,05	0,43	0,05	0,05	0,01	
14.12.2023	5,3	6,6	5,17	0,11	0,17	0,06	0,22	0,88	0,13	0,07	0,02	
15.12.2023	23,3	11,9	4,70	0,03	0,17	0,03	0,05	1,74	0,25	0,06	0,01	SDE
16.12.2023	2,7	22,7	4,42	0,08	0,48	0,03	0,18	3,51	0,65	0,11	0,02	
22.12.2023	15,1	3,7	5,29	0,08	0,15	0,03	0,13	0,38	0,14	0,10	0,01	
23.12.2023	13,0	3,6	5,41	0,12	0,11	0,03	0,19	0,31	0,05	0,08	0,02	

- 1) Geringe Probenmenge → nicht alle Analysen möglich
- 2) Zu wenig Probe → keine Analysen möglich
- 3) eventuelle Kontamination → mit * markierte Werte wurde bei der Auswertung ausgeschlossen
SDE ... Mineralstaubeignis